



UNIVERSITAS INDONESIA

**ANALISIS NILAI *EFFECTIVE ISOTROPIC RADIATED
POWER (EIRP)* TIGA SISTEM JARINGAN (2G, 3G, CDMA)
PADA PERANGKAT *MULTI NETWORK***

TUGAS AKHIR

Diajukan sebagai salah satu syarat untuk memperoleh gelar Sarjana Teknik

**MUHAMMAD ILHAM
0706199565**

**FAKULTAS TEKNIK UNIVERSITAS INDONESIA
PROGRAM STUDI TEKNIK ELEKTRO
KEKHUSUSAN ELEKTRO
DEPOK
DESEMBER 2009**

HALAMAN PERNYATAAN ORISINALITAS

Tugas akhir ini adalah hasil karya saya sendiri,
dan semua sumber baik yang dikutip maupun dirujuk
telah saya nyatakan dengan benar.

Nama : Muhammad Ilham
NPM : 0706199565

Tanda Tangan :
Tanggal : 30 Desember 2009

HALAMAN PENGESAHAN

Tugas Akhir ini diajukan oleh:

Nama : Muhammad Ilham
NPM : 0706199565
Program Studi : Teknik Elektro
Judul Tugas akhir : **ANALISIS NILAI EFFECTIVE ISOTROPIC RADIATED POWER (EIRP) TIGA SISTEM JARINGAN (2G, 3G, CDMA) PADA PERANGKAT MULTI NETWORK**

Telah berhasil dipertahankan di hadapan Dewan Pengaji dan diterima sebagai bagian persyaratan yang diperlukan untuk memperoleh gelar Sarjana Teknik pada Program Studi Elektro Fakultas Teknik, Universitas Indonesia.

DEWAN PENGUJI

Pembimbing : **Prof. Dr. Ir. Nji Raden Poespawati, MT** (.....)

Pengaji : **Dr. Ir. Arman D. Diponogoro** (.....)

Pengaji : **Ir. Djamhari Sirat M.Sc., Ph.D** (.....)

Ditetapkan di : Depok

Tanggal : 30 Desember 2009

KATA PENGANTAR

Assalaamu'alaikum, Wr, Wb.

Bismillaahirrohmaanirrohiim,

Syukur *Alhamdulillah*, saya persembahkan kehadiran Allah SWT yang senantiasa mencerahkan taufik, hidayah, dan inayah-Nya, sehingga penulis dapat menyelesaikan tugas akhir yang berjudul "**ANALISIS NILAI EFFECTIVE ISOTROPIC RADIATED POWER (EIRP) TIGA SISTEM JARINGAN (2G, 3G, CDMA) PADA PERANGKAT MULTI NETWORK**". Tugas akhir ini disusun untuk memenuhi salah satu syarat dalam menyelesaikan pendidikan pada Program Sarjana Teknik Elektro Universitas Indonesia. Saya menyadari sepenuhnya bahwa saya dapat menyelesaikan tugas akhir ini dengan bantuan dan bimbingan serta doa dari banyak pihak. Oleh karena itu, saya mengucapkan terima kasih kepada:

- (1) Prof. Dr. Ir. Nji Raden Poespawati, MT selaku pembimbing yang telah memberikan banyak waktu, tenaga dan pikiran untuk mengarahkan saya dalam penyusunan tugas akhir ini.
- (2) Kedua orang tua dan keluarga atas doa dan dukungannya dalam menyelesaikan tugas akhir ini.
- (3) Bpk. Fani Triwyanto dan Bpk. Nursantoso yang telah banyak membantu dalam usaha memperoleh data yang saya perlukan.

Dengan segala kerendahan hati, saya berharap semoga tugas akhir ini dapat bermanfaat bagi pembaca pada khususnya dan bagi dunia pendidikan pada umumnya.

Akhir kata, saya berharap Allah SWT berkenan membalas segala kebaikan semua pihak yang telah membantu dalam penyelesaian tugas akhir ini.

Wassalaamu'alaikum, Wr, Wb

Depok , 30 Desember 2009

Penulis

HALAMAN PERNYATAAN PERSETUJUAN PUBLIKASI TUGAS AKHIR UNTUK KEPENTINGAN AKADEMIS

Sebagai sivitas akademik Universitas Indonesia, saya yang bertanda tangan di bawah ini:

Nama : Muhammad Ilham
NPM : 0706199565
Program Studi : Teknik Elektro
Departemen : Teknik Elektro
Fakultas : Teknik
Jenis karya : Tugas akhir

demi pengembangan ilmu pengetahuan, menyetujui untuk memberikan kepada Universitas Indonesia **Hak Bebas Royalti Noneksklusif (Non-exclusive Royalty-Free Right)** atas karya ilmiah saya yang berjudul :

**"ANALISIS NILAI EFFECTIVE ISOTROPIC RADIATED POWER (EIRP)
TIGA SISTEM JARINGAN (2G, 3G, CDMA) PADA PERANGKAT MULTI
NETWORK"**

beserta perangkat yang ada (jika diperlukan). Dengan Hak Bebas Royalti Noneksklusif ini Universitas Indonesia berhak menyimpan, mengalihmedia/formatkan, mengelola dalam bentuk pangkalan data (*database*), merawat, dan memublikasikan tugas akhir saya tanpa meminta izin dari saya selama tetap mencantumkan nama saya sebagai penulis/pencipta dan sebagai pemilik Hak Cipta.

Demikian pernyataan ini saya buat dengan sebenarnya.

Dibuat di : Depok

Pada tanggal : 30 Desember 2009

Yang menyatakan

(Muhammad Ilham)

ABSTRAK

Nama : Muhammad Ilham

Program Studi : Teknik Elektro

Judul : **ANALISIS NILAI *EFFECTIVE ISOTROPIC RADIATED POWER (EIRP)* TIGA SISTEM JARINGAN (2G, 3G, CDMA) PADA PERANGKAT MULTI NETWORK**

Suatu solusi yang terbaik bagi semua operator yang menyediakan pelayanan bagi pelanggannya dalam menjangkau *coverage area* yang sering di kunjungi adanya penyediaan jaringan *indoor*, yang memudahkan dan memuaskan pelanggan dalam menggunakan *mobile cellular*. Semua Operator berlomba untuk menjadikan yang pertama dan terbaik dalam menjangkau seluruh area yang menjadi target *traffic*.

Perubahan peraturan pemerintah yang menetapkan bagi semua operator untuk membangun *tower* bersama, manjadikan suatu keuntungan dan juga kerugian bagi semua operator, salah satunya pada jaringan *indoor* yang sangat mempengaruhi kuat dan kualitas sinyal yang dapat.

Oleh sebab itu pada tugas akhir ini, akan dianalisa perbandingan nilai *Effective Isotropic Radiated Power (EIRP)* tiga sistem jaringan, yaitu 3G, 2G dan CDMA) pada perhitungan *link budget* antena secara teori dengan hasil implementasi antena di lapangan pada jaringan, infrastruktur yang sudah ada, data tersebut di dapat dari PT. Hutchinson CP Telecommunication dan operator CDMA, sehingga diharapkan dapat menemukan keuntungan dan kerugian masing - masing dari ketiga sistem tersebut dalam menggunakan perangkat secara bersamaan yang di kenal *Multi Network* (Multi Operator).

Kata kunci : *Effective Isotropic Radiated Power(EIRP), Perhitungan Link Budget, Multi Network System.*

ABSTRACT

Nama : Muhammad Ilham
Program Studi : Electrical Engineering
Judul : **ANALYSIS OF EFFECTIVE ISOTROPIC RADIATED POWER (EIRP) VALUE OF THREE NETWORKING SYSTEM (2G, 3G, CDMA) IN MULTI NETWORKING SETS OF EQUIPMENT**

One of the best solution for all operators providing the service for their customer in covering the coverage area that is commonly visited is to provide indoor network. It eases and satisfies the customers in using mobile cellular. All operators compete to be the first and the best operator in covering all target traffic areas.

The change of government's rules that makes all operators build the tower together, gives them some benefits and disadvantages, one of them is in indoor network that affects the signal strength and quality.

In this final assignment, the comparison between *Effective Isotropic Radiated Power (EIRP)* value of three networking system (3G, 2G and CDMA) in antenna link budget counting and the implementation result of antenna in the field of networking and existed infrastructure will be analyzed. The data is collected from PT Hutchinson CP Telecommunication and CDMA operator so that we can find benefits and disadvantages from each of those three systems in using *Multi Networking* (Multi Operator).

Kata kunci : *Effective Isotropic Radiated Power(EIRP), Link Budget Calculation, Multi Network System.*

DAFTAR ISI

HALAMAN JUDUL.....	i
PERNYATAAN ORISINALITAS.....	ii
HALAMAN PENGESAHAN.....	iii
KATA PENGANTAR.....	iv
HALAMAN PERNYATAAN PERSETUJUAN PUBLIKASI.....	v
ABSTRAK.....	vi
ABSTRACT.....	vii
DAFTAR ISI.....	viii
DAFTAR GAMBAR.....	x
DAFTAR TABEL.....	xi
DAFTAR ISTILAH.....	xii
DAFTAR LAMPIRAN.....	xiii
BAB I PENDAHULUAN.....	1
1.1 Latar Belakang.....	1
1.2 Perumusan Masalah.....	2
1.3 Batasan Masalah	2
1.4 Tujuan Penelitian	2
1.5 Metode Penelitian.....	3
1.1 Sistematika Penulisan.....	3
BAB II DASAR TEORI.....	5
2.1 <i>Global System for Mobile (GSM)</i>	5
2.1.1 Sistem Arsitektur GSM	5
2.2 <i>Code Division Multiple Access</i>	7
2.2.1 Sistem Arsitektur CDMA	8
2.3 <i>Universal Mobile Telecommunication System (UMTS)</i>	10
2.3.1 Sistem Arsitektur UMTS.....	11
2.4 Sistem <i>Indoor Network</i>	12
2.4.1 Perangkat <i>Indoor</i>	14
2.4.1.1 Antena.....	14
2.4.1.2 Kabel <i>Coaxial</i>	15
2.4.1.3 <i>RF Tapper</i>	15
2.4.1.4 <i>Power Splitter</i>	16
2.4.1.5 <i>Directional Coupler</i>	17
2.4.1.6 <i>Multi Band Combiner</i>	17
2.5 Parameter <i>Transmisi</i> dan Propagasi	17
2.6 Propagasi <i>Loss</i>	19
2.7 EIRP(<i>Efective Isotropic radiated Power</i>).....	19
2.8 RSL (<i>Receive Signal Level</i>).....	19
2.9 <i>Link Budget</i>	20
2.10 <i>Coverage area</i>	21
2.11 <i>Carrier to noise power ratio</i>	22
BAB III PERHTUNGAN NILAI EIRP MULTI NETWORK (2G, 3G, CDMA).....	23
3.1 HCPT (<i>Hutchinson CP Telecommunication</i>) <i>Indoor site Acceptance</i> ...	23
3.2 Perhitungan <i>Link Budget</i>	25

3.3	Perhitungan <i>Link Budget</i> 2G	26
3.3.1	Perhitungan EIRP Transmitter 2G.....	26
3.3.2	Perhitungan Maximum Useful Phatloss (<i>Downlink</i>) 2G.....	27
3.3.3	Perhitungan Maximum Useful Phatloss (<i>Uplink</i>) 2G.....	29
3.3.4	Perhitungan Cell Radius 2G.....	30
3.4	Perhitungan <i>Link Budget</i> 3G	31
3.4.1	Perhitungan EIRP Transmitter 3G.....	32
3.4.2	Perhitungan Maximum Useful Phatloss (<i>Downlink</i>) 3G.....	33
3.4.3	Perhitungan Maximum Useful Phatloss (<i>Uplink</i>) 3G.....	34
3.4.4	Perhitungan Cell Radius 3G.....	36
3.5	Perhitungan <i>Link Budget</i> CDMA.....	37
3.5.1	Perhitungan EIRP Transmitter CDMA.....	37
3.5.2	Perhitungan Maximum Useful Phatloss (<i>Downlink</i>) CDMA..	38
3.5.3	Perhitungan Maximum Useful Phatloss (<i>Uplink</i>) CDMA.....	40
3.5.4	Perhitungan Cell Radius CDMA.....	41
3.6	Hasil Perbandingan ke Tiga Sistem pada <i>Multi Network</i>	42
3.7	Perhitungan <i>Carrier to Noise</i>	43
BAB IV ANALISIS DATA	53
4.1	Hasil Perhitungan EIRP	53
4.1.1	2G (1800 MHz).....	53
4.1.2	3G (2100 MHz).....	55
4.1.3	CDMA (800 MHz).....	56
4.2	Hasil Data <i>Walktest</i>	57
4.3	Perbandingan Data Perhitungan Dan Data <i>Walktest</i>	58
4.4	Analisis Perbandingan Nilai <i>Carrier to noise Ratio</i> (C/N).....	61
BAB V KESIMPULAN	62
DAFTAR REFRENSI	63
DAFTAR PUSTAKA	64

DAFTAR GAMBAR

Gambar 2.1	Sistem Arsitektur GSM	5
Gambar 2.2	Sistem Arsitektur CDMA	8
Gambar 2.3	Sistem Arsitektur UMTS	11
Gambar 2.4	Sistem <i>Idoor Network</i>	13
Gambar 2.5	<i>RF Tapper</i>	15
Gambar 2.6	<i>Power Splitter</i>	16
Gambar 2.7	<i>Directional Coupler</i>	17
Gambar 3.1	Diagram <i>Link Budget</i>	25
Gambar 4.1	Sketsa lantai LG.....	52
Gambar 4.2	<i>Coverage Area 2G</i>	53
Gambar 4.3	<i>Coverage Area 3G</i>	54
Gambar 4.4	<i>Coverage Area CDMA</i>	55
Gambar 4.5	<i>Walktest Data CDMA</i>	56
Gambar 4.6	<i>Walktest Data 2G</i>	56
Gambar 4.7	<i>Walktest Data 3G</i>	57
Gambar 4.8	Perbandingan Radius Sel	58
Gambar 4.9	Perbandingan Data <i>Walktest</i>	59
Gambar 4.10	Grafik Perbandingan Radius Sel.....	59
Gambar 4.11	Grafik Rx Level CDMA	60
Gambar 4.12	Grafik Rx Level 2G	60
Gambar 4.13	Grafik Rx Level 3G	60
Gambar 4.14	Grafik Perbandingan nilai C/N.....	61

DAFTAR TABEL

Tabel 2.1	<i>Loss Tapper</i>	16
Tabel 2.2	<i>Loss Power Splitter</i>	16
Tabel 2.3	<i>Loss Faktor Gedung</i>	21
Tabel 3.1	<i>KPI(Key Performance Index)</i>	23
Tabel 3.2	<i>Matrial List</i>	24
Tabel 3.3	Parameter <i>Link Budget Uplink</i>	24
Tabel 3.4	Parameter <i>Link Budget Downlink</i>	25
Tabel 3.5	Hasil Perhitungan Tiga Sistem pada <i>Multi Network</i>	42
Tabel 3.6	Perbandingan Nilai C/N.....	51
Tabel 4.1	<i>Link Budget 2G</i>	53
Tabel 4.2	<i>Link Budget 3G</i>	54
Tabel 4.3	<i>Link Budget CDMA</i>	55
Tabel 4.4	Perbandingan Nilai C/N.....	61

DAFTAR ISTILAH

GSM	Global System for Mobile
UMTS	Universal Mobile Telecommunication System
CDMA	Code Division Multiple Access
EIRP	Efective Isotropic radiated Power
RSL	Receive Signal Level
MS	Mobile Station
BTS	Base Tranceiver Station
BSC	Base Station Controller
BSS	Base Station System
KPI	Key Performance Index

DAFTAR LAMPIRAN

Lampiran 1. <i>Technical Specification</i>	65
Lampiran 2. <i>Floor Map Senayan City Mall</i>	76
Lampiran 3. <i>Walktest Report Data</i>	80

BAB I

PENDAHULUAN

1.1 Latar Belakang.

Sekarang ini kebutuhan untuk berkomunikasi menjadi satu hal yang sangat dibutuhkan bagi setiap orang. Kebutuhan akan pelayanan telekomunikasi akan semakin meningkat dikarenakan tuntutan kebutuhan pengguna dimasa depan yang semakin meningkat, namun yang pasti kebutuhan fasilitas suara masih merupakan kebutuhan yang utama bagi para pengguna jasa telekomunikasi.

Sistem komunikasi bergerak diyakini akan memegang peranan yang semakin penting dalam memenuhi kebutuhan telekomunikasi. Dengan sambungan telepon tanpa kabel (*wireless*) akan semakin mempermudah seseorang untuk berkomunikasi kapan saja dan dimana saja.

Seiring dengan meningkatnya pengguna telepon seluler dan bertambahnya gedung-gedung bertingkat di Jakarta seperti gedung-gedung perkantoran, hotel, apartemen, pusat perbelanjaan, dan rumah sakit, maka operator seluler di Indonesia, membangun dan menambah jumlah *Base Transceiver Station* (BTS), baik BTS makro dan mikro di wilayah sekitar yang trafiknya padat bertujuan untuk meningkatkan kualitas dan kinerja cakupan jaringan.

Tanpa peningkatan kinerja, jaringan akan mengalami penurunan dari segi kualitas panggilan. Dalam menyediakan cakupan yang baik di dalam gedung (*indoor*) pada lantai-lantai yang tinggi di sebuah gedung seringkali menjadi masalah yang sulit. Ada beberapa masalah yang menyebabkan kesulitan tersebut, yaitu penetrasi ke dalam bangunan. Biasanya di dalam gedung kuat sinyal yang diterima oleh pengguna telepon seluler tidak dapat diterima dengan baik, karena sinyal dari BTS diluar gedung mengalami redaman yang cukup besar dari dinding-dinding bangunan. Besarnya redaman tergantung konstruksi bangunan, sehingga yang menjadi persoalan adalah bagaimana mendapatkan nilai *Effective Isotropic Radiated Power* (*EIRP*) dalam perhitungan *link budget* pada suatu sistem jaringan yang akan di pasang oleh karena itu pada tugas akhir ini saya akan menganalisa perbandingan nilai *Effective Isotropic Radiated Power* (*EIRP*) tiga

sistem jaringan, yaitu 3G, 2G (1800 Mhz) dan CDMA pada perhitungan *link budget* antena secara teori, maupun hasil implementasi antena dilapangan pada jaringan infrastruktur yang sudah ada, data tersebut di dapat dari PT. Hutchinson CP Telecommunication dan operator CDMA pada suatu Mall Senayan City, sehingga diharapkan dapat menemukan keuntungan dan kerugian masing - masing dari ketiga sistem tersebut dalam menggunakan perangkat secara bersamaan yang di kenal *Multi Network (Multi Operator)*.

1.2 Perumusan Masalah

Nilai *Effective Isotropic Radiated Power (EIRP)* GSM dan CDMA yang didapat dalam perhitungan *link budget* secara teori akan dibandingkan dengan kuat sinyal pada jarak cakup antena yang sudah di implementasikan pada jaringan *Multi Network*.

1.3 Batasan masalah

Agar tidak menyimpang dan meluasnya pembahasan, dalam studi kasus ini akan di berikan beberapa batasan masalah:

1. Infrastruktur yang di gunakan adalah *indoor* GSM 1800, 3G dan CDMA.
2. Antena yang digunakan adalah antena *omni (piko cell)* dan perangkat jaringan Indoor milik PT. Hutchinson CP Telecommunication.
3. Melakukan pengukuran kuat sinyal, tidak melakukan pengukuran kualitas sinyal.
4. Lokasi yang menjadi pembahasan, yaitu Mall Senayan City.

1.4 Tujuan Penelitian

Tujuan penelitian tugas akhir ini adalah untuk mengetahui faktor - faktor apa saja yang mempengaruhi pada hasil perbandingan nilai Nilai *Effective Isotropic Radiated Power (EIRP)* GSM dan CDMA yang didapat dalam perhitungan *link budget* secara teori dibandingkan dengan data kuat sinyal (*walktest*) pada jarak cakup antena yang sudah di implementasikan pada jaringan *Multi Network*.

1.5 Metode Penelitian

Dalam penulisan tugas akhir ini metode yang di gunakan adalah:

1. Konsultasi dengan dosen pembimbing dan diskusi dengan *Engineer Divisi Radio Network* PT. Hutchinson CP Telecommunication.
2. Studi dilapangan untuk mengumpulkan bahan mengenai *Multi Network* mempelajari buku-buku refrensi, *file-file training engineer paper*, jurnal, *internet*.
3. Melakukan *Walktest* untuk melihat uji kuat sinyal langsung di lapangan.

1.6 Sistematika Penulisan

BAB I Pendahuluan

Bab I berisi latar belakang masalah, tujuan penelitian, perumusan masalah, batasan masalah, metode penelitian, dan sistematika penulisan.

BAB II Landasan Teori

Bab II Dalam bab ini akan dibahas tentang sistem komunikasi bergerak secara umum GSM dan CDMA, gambaran umum tentang *In-Door Coverage System* dan *Multi Network* dan spesifikasi macam-macam perangkat *indoor* yang digunakan.

BAB III Perhitungan *EIRP Multi Network (2G, 3G, CDMA)*

Bab III berisi pembahasan nilai *EIRP* yang di dapat dari perhitungan *link budget* untuk tiga sistem jaringan (2G, 3G, CDMA) dan macam-macam loss, juga menjelaskan jarak cakupan antena *picocell* atau *omni*, serta menjelaskan prosedur *indoor design* juga *key performance index* (KPI) HCPT.

BAB IV Analisa Data

Bab IV berisi analisa perhitungan *link budget multi network* dan membandingkan kuat sinya hasil data *walktest* yang didapat dari lapangan, yang sudah sesuai KPI yang sudah menjadi standar PT. Hutchinson CP Telecommunication.

BAB V Kesimpulan

Berisi kesimpulan dari hasil analisa dan perbandingan pada sistem *Multi network* dan mengetahui kekurangan juga kelebihan ketiga sistem tersebut.



BAB II

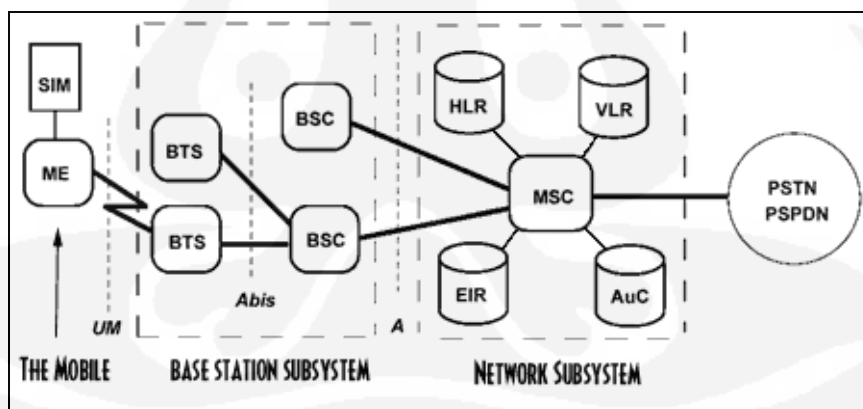
LANDASAN TEORI

2.1 Global Sistem For Mobile (GSM)

Global System for Mobile Communication (GSM) merupakan salah satu trend teknologi *seluler* yang paling banyak dipakai pada saat ini. GSM merupakan teknologi *seluler* generasi-2 (2G) yang menggunakan teknologi modulasi digital, menyediakan kapasitas lebih besar, kualitas suara dan sekuritas yang lebih baik jika dibandingkan teknologi *seluler* generasi-1 (1G). Pada teknologi ini suatu pita frekuensi tertentu yang lebih lebar dibagi - bagi ke dalam beberapa *time slot*. Hal ini berarti bahwa beberapa panggilan dapat menggunakan kanal frekuensi yang sama tetapi pada suatu *time slot* yang berbeda – beda. Pada awalnya teknologi ini dirancang pada frekuensi 900 MHz (GSM 900). Pada perkembangan selanjutnya, teknologi GSM mulai dioperasikan pada frekuensi 1800 MHz atau disebut DCS 1800.

2.1.1 Sistem Arsitektur 2G

Pada Gambar 2.1 merupakan sistem kerja jaringan GSM yang terdiri dari.



Gambar 2.1 Sistem Arsitektur GSM [1]

1. Radio Subsystem

Radio Subsystem merupakan perangkat transmisi yang menghubungkan sentral dengan pelanggan. Dalam jaringan GSM, *Radio Subsystem* terdiri dari:

a. *Mobile Station (MS)*

MS merupakan perangkat yang digunakan oleh pelanggan untuk dapat memperoleh layanan komunikasi bergerak. MS dilengkapi dengan sebuah *smart card* yang dikenal dengan SIM (*Subscriber Identity Module*) yang berisi nomor identitas pelanggan.

b. *Base Station System (BSS)*

BSS Terdiri dari tiga bagian:

i. *Base Transceiver Station (BTS)*

BTS merupakan perangkat pemancar dan penerima yang memberikan pelayanan radio pada mobile station (MS). Dalam BTS terdapat kanal trafik yang digunakan untuk komunikasi.

ii. *Base Station Controller (BSC)*

BSC membawahi satu atau lebih BTS serta mengatur trafik yang datang dan pergi dari BSC menuju MSC atau BTS. BSC mengelola sumber radio dalam pemberian frekuensi untuk setiap BTS dan mengatur handover ketika *mobile station* melewati batas antar sel.

c. *Transcoding and Rate Adaption Unit (TRAU)*

TRAU berfungsi untuk pengkodean pembicaraan (*speech transcoding*) dari BSC ke MSC dan sebaliknya serta melakukan penyesuaian kecepatan (*rate adaption*) data atau suara dari 64 Kbps yang keluar dari MSC menjadi 16 Kbps yang menuju BSC untuk efisiensi kanal transmisi.

2. *Switching SubSystem*

Switching Subsystem merupakan gabungan perangkat-perangkat yang saling terkait guna mendukung fungsi *switching* dan basis data pelanggan, terdiri dari beberapa bagian yaitu :

a. *Mobile Switching Center (MSC)*

MSC mempunyai fungsi utama sebagai sentral penyambungan, yang juga bisa memberikan fungsi-fungsi lain. MSC terhubung ke BSS dan jaringan luar seperti MSC lain, PSTN, PLMN, ISDN dan lain-lain.

b. *Home Location Register (HLR)*

HLR merupakan basis data yang berisi data pelanggan yang tetap. Data tersebut antara lain, layanan pelanggan, layanan tambahan dan informasi mengenai lokasi pelanggan yang paling akhir (*up date*).

c. *Visitor Location Register (VLR)*

VLR merupakan database yang berisi informasi sementara mengenai pelanggan yang tidak terdaftar pada suatu MSC yang memasuki *area* MSC tersebut.

d. *Authentication Center (AuC)*

AuC berisi database yang menyimpan informasi rahasia yang disimpan dalam bentuk format kode. AuC digunakan untuk mengontrol penggunaan jaringan yang sah dan mencegah semua pelanggan yang melakukan kecurangan.

e. *Equipment Identity Register (EIR)*

EIR berisi basis data terpusat yang berguna untuk validasi *International Mobile Equipment Identity*(IMEI).

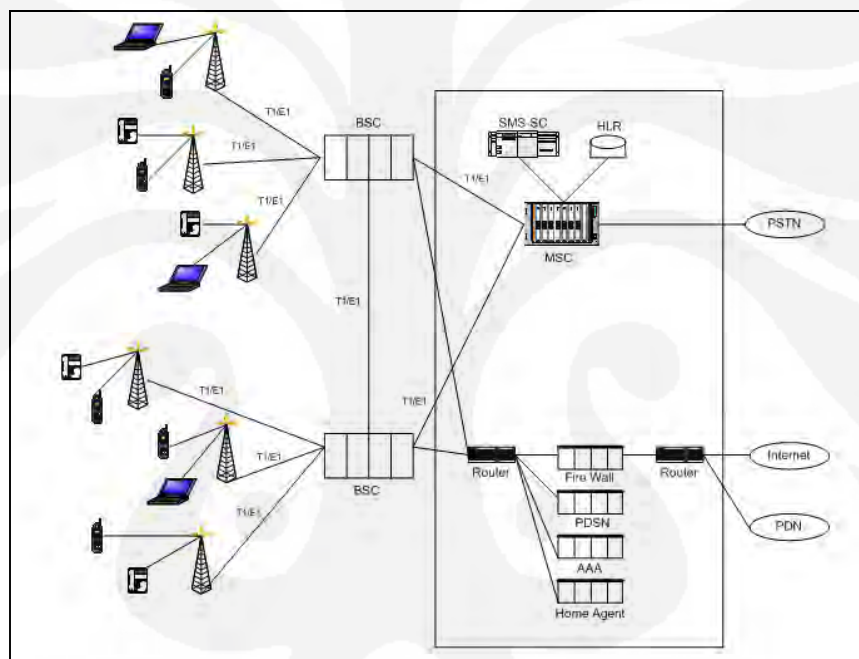
2.2 *Code Division Multiple Acess (CDMA).*

Code Division Multiple Access adalah teknologi berbasis *spread spectrum* yang mengijinkan banyak user menempati kanal radio yang sama. Dalam

sistem CDMA tiap user menggunakan kode unik yang berbeda satu sama lain, sehingga hanya *receiver* yang mengetahui kode tersebut untuk diambil datanya (dilakukan secara sinkron), hal ini dimungkinkan karena *cross correlation* antar kode sangat kecil. Setiap data yang di pancarkan terlebih dahulu akan di tebar (*spreading*) sehingga memungkinkan adanya *multiple access*.

2.2.1 Sistem Arsitektur CDMA

Pada Gambar 2.2 merupakan skema struktur jaringan CDMA secara umum terdiri dari.



Gambar 2.2 Sistem Arsitektur CDMA [2]

- User terminal, terdiri dari komponen-komponen sebagai berikut :
 - Fixed terminal*
 - Portable/handled*
 - dan memelihara dan memutuskan hubungan dengan *Radio Network* melalui antarmuka radio-packet.
 - Mengumpulkan data autentifikasi, autorisasi dan *accounting* yang diperlukan oleh AAA.

b. *Radio Access Network* (RAN), terdiri dari beberapa komponen berikut

1. *Base Transceiver Station* (BTS)

BTS bertanggung jawab untuk mengalokasikan daya digunakan oleh pelanggan serta berfungsi sebagai antarmuka yang menghubungkan jaringan CDMA dengan perangkat pelanggan. BTS terdiri dari perangkat radio yang digunakan untuk mengirimkan dan menerima sinyal CDMA.

2. *Base Station Controller* (BSC)

BSC bertanggung jawab untuk mengontrol semua BTS yang berada di dalam daerah cakupannya serta mengatur rute paket data dari BTS ke PDSN atau sebaliknya serta trafik dari BTS ke MSC atau sebaliknya.

3. *Packet Data Serving Network* (PDSN)

PDSN merupakan komponen baru yang terdapat dalam sistem seluler berbasis CDMA2000 1x yang bertujuan untuk mendukung layanan paket data. Fungsi PDSN antara lain untuk membentuk, memelihara dan memutuskan sesi *Point-to-Point Protocol* (PPP) dengan pelanggan.

c. *Circuit Core Network* (CCN), terdiri dari beberapa komponen berikut.

1. *Mobile Switching Center* (MSC)

MSC diletakkan di pusat jaringan *mobile communication* dan juga bekerja dengan jaringan lain seperti PSTN, PLMN, dll.

2. *Home Location Register* (HLR)

HLR merupakan tempat yang berisi informasi pelanggan yang digabungkan dengan pengantar layanan paket data. Layanan informasi dari HLR diambil dalam *Visitor Location Register* (VLR) pada jaringan switch selama proses registrasi berhasil.

3. *Visitor Location Register* (VLR)

VLR secara temporari menyimpan dan mengontrol semua informasi dari Mobile Station (MS) yang berada pada area kontrol. Ketika pelanggan melakukan panggilan maka VLR mentransmit semua informasi yang berhubungan dari MSC.

4. *SMSC (Short Message Service Center)*

SMSC bertanggung jawab dalam penyampaian, penyimpanan dan pengajuan suatu pesan singkat.

5. *ISMSC (Intelligent Short Message Service)*

ISMSC merupakan gateway untuk menyelenggarakan *interworking* dengan jaringan PSTN dan GSM.

d. *Packet Core Network (PCN)*, terdiri dari beberapa komponen berikut :

1. *Router* berfungsi untuk merutekan paket data dari dan ke berbagai elemen jaringan yang terdapat pada jaringan CDMA serta bertanggung jawab untuk mengirimkan dan menerima paket data dari jaringan internal ke jaringan eksternal atau sebaliknya.

2. *Fire Wall* berfungsi untuk mengamankan jaringan terhadap akses dari luar.

3. *Authentication, Authorization and Accounting (AAA)*

AAA menyediakan fungsi untuk *authentication* bertalian dengan PPP dan hubungan *mobile IP*, melakukan autorisasi, yaitu layanan profil dan kunci keamanan distribusi dan manajemen dan *accounting* untuk jaringan paket data dengan menggunakan protokol *Remote Access Dial in User Service* (RADIUS) AAA server juga digunakan oleh PDSN untuk berhubungan dengan jaringan suara dari HLR dan VLR.

4. *Home Agent*

HA berfungsi untuk menelusuri lokasi *mobile station* (MS) sekaligus mengecek apakah paket data telah diteruskan ke MS tersebut.

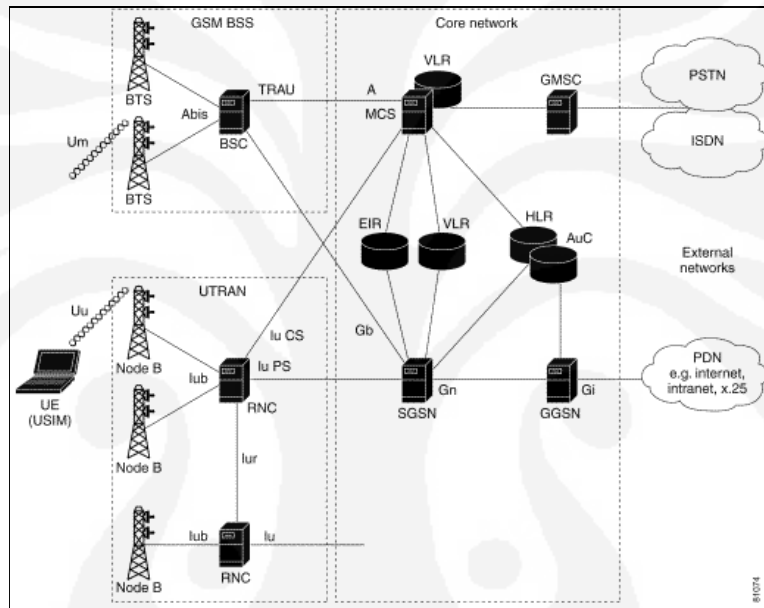
2.3 *Universal Mobile Telecommunication System (UMTS)*

Universal Mobile Telecommunication System (UMTS) merupakan suatu evolusi dari GSM yang mendukung generasi ke tiga (3G), yang dirancang untuk memenuhi kebutuhan *user* tersebut dengan kecepatan akses mencapai 2 Mbps, UMTS merupakan standar sistem telekomunikasi generasi ketiga berbasis WCDMA yang dibangun diatas platform GSM. UMTS, WCDMA dan

GSM dapat bersama dengan memanfaatkan jaringan inti (core network) yang sama.

2.3.1 Sistem Arsitektur UMTS

Pada Gambar 2.3 tunjukkan system kerja UMTS, secara umum ada tiga bagian yang penting dari sistem arsitektur sistem teknologi UMTS, yaitu *User Equipment* (UE), UMTS *Terrestrial Radio Access Network* (UTRAN), dan *Core Network* (CN).



Gambar 2.3 Sistem Arsitektur UMTS [3]

1. *User Equipment (UE)*.

User Equipment (UE) atau Mobile User (ME) merupakan ponsel dan SIM (Subscriber Identity Module) Card yang disebut dengan USIM (Universal SIM). USIM berisikan data spesifik pelanggan dan untuk keperluan autentikasi pelanggan untuk bisa masuk ke jaringan.

2. *UMTS Radio Access Network (UTRAN)*

Link radio antara UTRAN dan UE disebut UTRA (UMTS Radio Access). Seperti yang terlihat pada Gambar 2.3, UTRAN merupakan kumpulan beberapa RNS yang terdiri dari RNC, dan Node B. Setiap node-node tersebut selalu dihubungkan dengan

masing-masing *interface* yang berbeda. *Interface* antara *core network* dengan RNC adalah Iups/Iucs, sesama RNC menggunakan *Iur*, antar RNC dengan Node B menggunakan *Iub*, dan dari UTRAN ke UE menggunakan *Uu*.

3. Core Network (CN)

Core Network atau jaringan inti terdiri dari *Circuit Switch Domain (CS Domain)*, dan *Packet Switch (PS)*. *Circuit switch* terdiri dari *Mobile Switching Centre (MSC) Server*, *Visitor Location Register (VLR)*, dan *Gateway MSC (GMSC)*. *Packet switch* terdiri dari *Serving GPRS Support Node (SGSN)*, dan *Gateway GPRS Support Node (GGSN)*, *Firewall*, *Border Gateway (BG)*, *DNS Server*, dan *Charging Gateway*. Beberapa elemen jaringan seperti *EIR (Equipment Identity Register)*, *HLR (Home Location Register)*, dan *AuC (Authentication Centre)* merupakan bagian dari keduanya.

2.4 Sistem Indoor Network

Suatu jaringan telekomunikasi yang berbasis GSM (1800 Mhz), UMTS dan CDMA di dalam gedung, yaitu mempunyai solusi untuk mendesain jaringan telekomunikasi di dalam gedung, menyediakan sinyal bagi pengguna agar dapat menggunakan suatu alat telekomunikasi (*cellular phone*) di mana saja berada terutama di dalam gedung yang sulit di jangkau oleh sinyal dari luar (*outdoor*), maka dari itu suatu operator telekomunikasi menyediakan desain khusus di dalam gedung untuk meningkatkan sinyal. Dalam mendesain suatu jaringan telekomunikasi *in-building* di butuhkan tiga kriteria desain :

- a. *Coverage Area*
- b. *Capacity*
- c. *Signal Level (Quality)*

Desain yang baik adalah desain yang memenuhi kebutuhan tersebut. *Cell in-building* biasanya lebih kecil di bandingkan dengan *macro Cell* dan dapat menyediakan kapasitas yang lebih besar di banding *macro cell*, dan biasanya juga mengurangi *level interference* yang akan menghasilkan kualitas suara

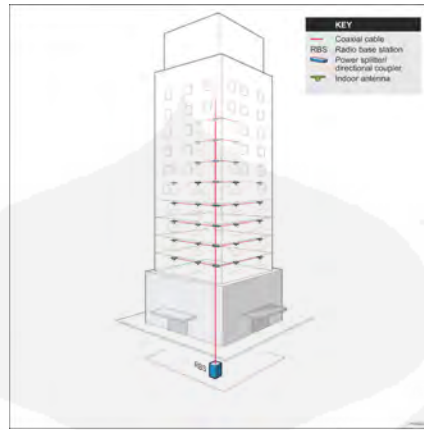
yang baik. Selanjutnya perbedaan bentuk sebuah building akan mempertimbangkan desain tersebut, misalnya:

- a) Office/Industries: *Wireless Office, Mobile Extension, Corporate Intranet, Pengankut barang, supervision, ruang production control* dan lainnya.
- b) Airport dan stasiun Bis
- c) Ruang pertemuan dan Pameran
- d) Rumah Sakit
- e) Hotel
- f) Tempat Perbelanjaan Mall

Setiap gedung memiliki karakteristik yang berbeda-beda. Hal ini dipengaruhi oleh desain gedung tersebut. Dari analisa kondisi gedung, dapat diperoleh data-data sebagai berikut :

1. Lokasi gedung
2. Luas bangunan
3. Desain eksterior gedung
4. Desain interior gedung
5. Jumlah Lantai
6. Konstruksi

Dalam perkembangan dunia telekomunikasi, menjadi sangat banyak bertumbuhan operator-operator baru yang juga mempunyai jaringan indoor, contohnya di Indonesia, yaitu untuk GSM Indosat, Telkomsel, XL, Three, Axis dan untuk CDMA Flexi, Esia, Fren, Ceria, maka dari itu pemerintah membuat peraturan untuk memakai satu perangkat secara bersamaan yang dinamakan Multi Operator didalam sistem *outdoor* atau pun *indoor*. Pada Gambar 2.4 yang menunjukkan sistem jaringan *indoor*:



Gambar 2.4 Sistem *Indoor Network* [4]

2.4.1 Perangkat *Indoor*

Perangkat pada suatu gedung dengan sistem Multi Operator mempunyai spesifikasi tertentu yang biasa di pakai oleh beberapa sistem yang ada GSM, UMTS, WCDMA. Berikut perangkat perangkat yang digunakan:

1. Antena
2. Kabel *Coaxial*
3. RF *Tapper*
4. *Power Splitter*
5. *Directional Coupler*
6. *Multi Combiner*

2.4.1.1 Antena

Pada sistem Multi Network Menggunakan Frekuensi range 820-960/1710-2500 MHz. Penggunaan *indoor* biasanya digunakan 3 tipe antena, yaitu:

- a. Antena *Omni*

Antena jenis ini paling banyak digunakan dalam perencanaan *indoor*. Antena *omni* memiliki karakteristik propagasi melingkar 360^0 .

- b. Antena *Directional*

Antena directional memiliki karakteristik propagasi sektoral. Antena jenis ini memiliki peningkatan *gain* pada satu atau

beberapa arah, akan tetapi mengalami pengurangan *gain* pada arah yang lain. Antena directional pada perencanaan indoor, biasanya digunakan pada bangunan yang memiliki lorong-lorong.

c. Antena *Bidirectional*

Antena jenis ini memiliki karakteristik propagasi yang sama dengan antena *directional* yaitu sektoral, tetapi antena *bi-directional* memancar dua arah, sehingga cocok digunakan untuk area yang memanjang dimana antena *directional* tidak dapat mencapai areanya (areanya terlalu panjang).

Antena yang digunakan pada sistem Indoor ini adalah antena dengan tipe *Omni*.

2.4.1.2 Kabel Coaxial

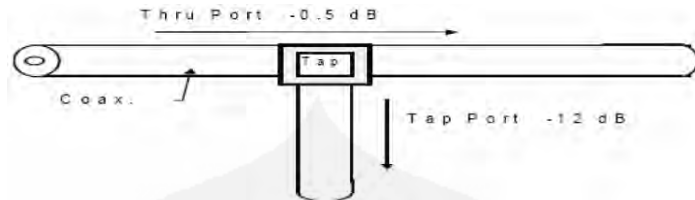
Kabel yang digunakan pada perancangan cakupan indoor adalah kabel koaksial. Terdapat berbagai macam tipe kabel koaksial, $\frac{1}{2}$ ", $\frac{7}{8}$ ", dan $1\frac{1}{4}$ ". Dikarenakan kita menggunakan antena yang terdistribusi, maka akan sangat dibutuhkan untuk membagi suatu kabel *coax* menjadi bercabang-cabang. Ada beberapa cara pendekatan untuk melakukan pencabangan ini, yaitu dengan menggunakan :

- a. *RF Tapper*
- b. *Power Splitter*
- c. *Directional Coupler*

Setiap metode memiliki kelebihan dan kekurangan yang harus dipertimbangkan.

2.4.1.3 RF Tapper

RF tapper dapat kita analogikan sebagai lubang pada saluran air. Seperti air (RF) mengalir melewati lubang, namun ada sebagian yang bocor keluar. Pada dasarnya RF tap adalah antena kecil yang dimasukkan kedalam kabel coaxial utama yang akan mengambil sebagian kecil energi dari cabang yang di-tap dan dialihkan ke cabang yang baru, berikut Gambar 2.5 menunjukan deskripsi tapper.



Gambar 2.5 *RF Tapper* [5]

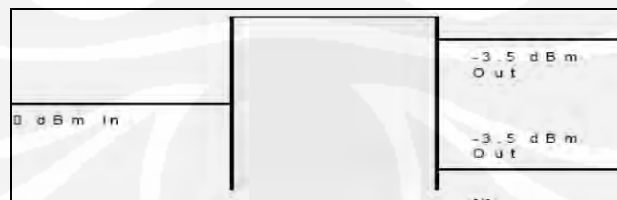
Tapper telah banyak tersedia dipasaran dan relative tidak mahal untuk membuat percabangan dari kabel coax utama. *Loss coupling* mengindikasikan seberapa besar sinyal akan masuk ke cabang yang baru. Beberapa tipe tapper dengan nilai *lossnya* dapat kita lihat pada Tabel 2.1.

Tabel 2.1 *Loss Tapper* [5]

<i>Tapper Output</i>	Total <i>Loss</i> (dB)
7	1
10	0,4
15	0,1

2.4.1.4 *Power Splitter*

Power splitter digunakan untuk membagi satu input menjadi dua atau lebih output dengan daya yang sama. Contohnya, *two-way splitter* biasanya memiliki loss 3,5 dB, maka jika sinyal sebesar 0 dBm melewati splitter ini maka keluarannya akan menjadi dua sinyal sebesar -3.5 dBm, lain halnya dengan sistem multi band beberapa jenis *splitter* misal 2 way, 3 way, 4 way, mempunyai *loss* yang sama <0.05 dB, berikut Gambar 2.6 menunjukan *power splitter*.



Gambar 2.6 *Power Splitter* [5]

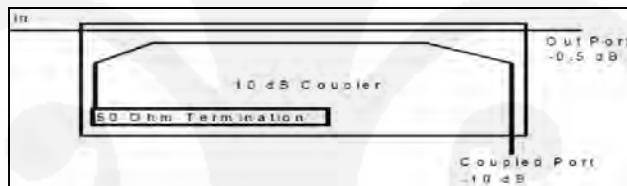
Beberapa tipe *power splitter* dengan nilai *lossnya* dapat kita lihat pada Tabel 2.2.

Tabel 2.2 *Loss Power Splitter* [5]

Jumlah Port Output	Total Loss (dB)
2	3
3	4,7
4	6

2.4.1.5 *Directional Coupler*

Dengan menggunakan *directional coupler*, sebagian besar sinyal ditransmisikan melewati port sementara sebagian kecil lainnya dialihkan ke port lain. Hal ini hampir sama dengan tapper tetapi metode yang digunakan untuk mengkopel sinyal berbeda, dan secara umum, dikatakan lebih efisien, berikut ditunjukkan pada Gambar 2.7.

Gambar 2.7 *Directional Coupler* [5]

2.4.1.6 *Multi Band Combiner*

Merupakan perangkat penggabung beberapa daya antara sinyal GSM, UMTS, CDMA yang berkerja pada range frekuensi 800-2500 MHz.

2.5 Parameter Transmisi dan Propagasi

Untuk mendapatkan sistem komunikasi yang baik, yang perlu dilakukan adalah melakukan perhitungan *link budget* dari sistem tersebut. Dalam perhitungan *link budget* ada beberapa parameter yang perlu diperhatikan diantaranya : Perhitungan *loss* (redaman/redaman), perhitungan EIRP (*Equivalent Isotropic Radiated Power*), Perhitungan RSL (*Received Signal Level*), perhitungan *fade margin* dan kualitas transmisi. Propagasi radio adalah aspek yang relatif penting pada jaringan *wireless*. Banyak faktor yang akan mempengaruhi propagasi radio seperti dinding, *furniture*, pintu atau jendela dan bahkan kehadiran manusia.

Dalam kaitannya dengan propagasi *multipath*, variasi penghalang, *mobilitas user* dan perubahan jarak, maka karakteristik propagasi akan berubah pula. Mekanisme perambatan gelombang dalam ruangan dipengaruhi oleh penghalang, *refleksi* dan *difraksi*. Akibat adanya pemantulan dari berbagai benda, gelombang sinyal akan menempuh jalur yang berbeda. *Interaksi* antara gelombang ini dan variasi jarak akan menyebabkan perubahan redaman dan *level daya* sinyal pada penerima.

Perhitungan *link budget* merupakan perhitungan *level daya* yang dilakukan untuk memastikan bahwa *level daya* penerima lebih besar atau sama dengan *level daya* [6].

dimana:

RLS = *Receive Signal Level*

Rth = Sensitivitas perangkat penerima

Tujuanya untuk menjaga keseimbangan *gain* dan *loss* guna mencapai SNR yang diinginkan di *receiver*.

Parameter- Parameter yang mempengaruhi kondisi suatu kanal wireless adalah sebagai berikut :

A. Lingkungan Propagasi

Kondisi lingkungan sangat mempengaruhi gelombang radio.

Gelombang radio dapat diredam, di pantulkan, atau dipengaruhi oleh noise dan interferensi. Tingkat peredaman tergantung frekuensi, dimana semakin tinggi frekuensi redaman juga semakin besar. Parameter – parameter yang mempengaruhi lingkungan

B. Rugi-Rugi Propagasi

Dalam lingkungan radio, konfigurasi alam yang tidak beraturan, bangunan, dan perubahan cuaca membuat perhitungan rugi-rugi propagasi sulit. Kombinasi statistik dan teori elektromagnetik membantu meramalkan rugi-rugi propagasi dengan lebih teliti.

C. Fading

Fading adalah fluktuasi amplituda sinyal. *Fading margin* adalah level daya yang harus dicadangkan yang besarnya merupakan selisih antara daya rata-rata yang sampai di penerima dan level sensitivitas penerima. Nilai *fading margin* biasanya sama dengan peluang level fading yang terjadi., yang nilainya tergantung pada kondisi lingkungan dan sistem yang digunakan. Nilai *fading margin* minimum agar sistem bekerja dengan baik sebesar 15 dBm.

D. Noise

Noise dihasilkan dari proses alami seperti petir, noise thermal pada sistem penerima, dll. Disisi lain sinyal transmisi yang mengganggu dan tidak diinginkan dikelompokkan sebagai interferensi.

2.6 Propagasi *Los*

Redaman ruang bebas atau *free space loss* merupakan penurunan daya gelombang radio selama merambat di ruang bebas. Redaman ini dipengaruhi oleh besar frekuensi dan jarak antara titik pengirim dan penerima.

Besarnya ruang bebas adalah [6] :

Dimana :

f = frekuensi operasi (MHz)

d = jarak antara pengirim dan penerima (km)

2.7 EIRP (*Effective Isotropic Radiated Power*)

EIRP merupakan besaran yang menyatakan kekuatan daya pancar suatu antena di bumi, dapat dihitung dengan rumus [6] :

$$\text{EIRP} = P_{\text{TX}} + G_{\text{TX}} - L_{\text{TX}} \dots \quad (2.3)$$

Dimana :

P_{TX} = daya pancar (dBm)

G_{TX} = penguatan antena pemancar (dB)

L_{TX} = rugi-rugi pada pemancar (dB)

2.8 RSL (Receive Signal Level)

RSL (*Receive Signal Level*) adalah level sinyal yang diterima di penerima dan nilainya harus lebih besar dari sensitivitas perangkat penerima ($RSL \geq R_{th}$). Sensitivitas perangkat penerima merupakan kepekaan suatu perangkat pada sisi penerima yang dijadikan ukuran *threshold*. Nilai RSL dapat dihitung dengan persamaan berikut [6] :

$$RSL = EIRP - L_{propagasi} + G_{RX} - L_{RX} \dots \dots \dots (2.4)$$

dimana :

EIRP = *Effective Isotropic Radiated Power (dBm)*

Lpropagasi = rugi-rugi gelombang saat berpropagasi (dB)

G_{RX} = penguatan antena penerima (dB)

L_{RX} = rugi-rugi saluran penerima (dB)

2.9 *Link Budget*

Perhitungan *Link Budget* dimaksudkan untuk dapat menghitung atau merencanakan kebutuhan daya sistem *seluler* sedemikian rupa, sehingga kualitas sinyal di penerima memenuhi standar yang di inginkan. Pada perencanaan system transmisi radio digital, perhitungan *power link budget* atau *path analysis* mengambil peranan penting agar hasil rancangan dapat mencapai hasil yang optimum dan efisien baik dari segi kehandalan teknis maupun biaya. Dalam perhitungan *link budget* dapat di peroleh *Maximum Allowable Phat Loss* (MAPL) yang sangat menentukan untuk perhitungan jarak atau radius sel dalam menentukan *coverage area*, juga dapat mengetahui level daya yang di terima (*Receive Signal Level*) yang diterima oleh penerima, hal ini akan menentukan availability dari system yang di rancang dan besarnya harus sesuai dengan kualitas yang di inginkan.

Link budget pada sistem perencanaan dibagi menjadi dua bagian yaitu *Uplink/ Link Reverse* (dari MS menuju BTS) dan *Downlink / Link Forward* (dari BTS menuju MS), untuk mendapatkan nilai *path loss* tersebut di ketahui dulu basar nilai *MAPL (Maximum Allowable Path Loss)*, parameter di hitung dengan persamaan berikut [6] :

Dengan :

$$\text{Sensitivitas} = E_b/N_o + N_o + I_m + \text{Information Rate} + NF_{BTS} \dots \dots \dots (2.7)$$

Dimana:

L_{max}	= Loss maksimum yang diizinkan
EIRP	= EIRP _(MS/BTS)
Sensitivitas	= Sensitivitas (BTS/MS)
P_{MS}	= Daya Pancar MS
G_{BTS}	= Gain BTS
FM	= Fading Margin
G_{MS}	= Gain MS
L_{body}	= Loss Body
E_b/N_0	= Kualitas kanal Trafik
N_o	= Receiver Noise Density
I_m	= Receiver Interference Margin
NF_{BTS}	= Noise Figure BTS

2.10 *Coverage Area*

Radius cell (jarak pemancar) atau penerima dengan *level daya* yang diterima oleh penerima dan sudah ditentukan KPI pada masing-masing operator tersebut melebihi nilai sensitivitas perangkat penerima, berikut persamannya [7] :

$r = 10^{((\text{Min}(L_{\max}) - (32.44 + 20 \log_{10}(freq/1000))) / 10 / L_{\max})}$
 exponent).....(2.8)

Dimana :

r	= Jari-Jari Lingkaran (Radius Coverage) (m)
Min	= Perbandingan Minimum $L_{max(UL/DL)}$
L_{max}	= Loss maksimum yang diizinkan
f_{reg}	= Frekuensi yang digunakan.
L_{max} exponent	= Nilai Loss Faktor gedung

Data L_{max} exponent merupakan nilai Loss Faktor gedung setiap operator mempunyai standart masing-masing berikut adalah salah satu contoh pada operator HCPT (Hutchinson CP) yang di tunjukkan Tabel 2.1.

Tabel 2.3 Loss Faktor Gedung [7]

Loss Faktor	dB
Heavy Partition	4.2
Medium Partition	3.8
Light Partition	3.6
Moderately Open	3.5
Open Environment	3.3

2.11 Carrier to noise power ratio (C/N)

Carrier to noise power ratio (C/N) adalah perbandingan antara daya sinyal pembawa dengan daya derau (*noise*). Besarnya perbandingan ini sering dinyatakan dengan satuan logaritmis dB.

Dalam perhitungan C/N di bagi menjadi dua maka dapat dihitung dengan mempergunakan persamaan berikut [8].

$$(C/N)_{u/d} = (EIRP)_{MS} - (L_{max})_{u/d} - K \cdot \text{Noise BW} \dots \dots \dots (2.9)$$

Dengan :

Noise BW = N+ noise figure

Dimana :

C/N_u = (C/N) Lintasan *up-link*

C/N_d \equiv (C/N) Lintasan *down-link*

$$C/N_t \equiv (C/N)_{\text{total}}$$

K = konstanta Boltzmana (1.38×10^{-23}) J/K

T = Temperatur dalam derajat Kelvin (290K)

B \equiv Bandwidth (Hz)

N = Noise power Boltzman

noise figure = noise figure receiver (7dB)

BAB III

PERHITUNGAN NILAI EIRP TIGA SISTEM JARINGAN

3.1 *Hutchinson CP telecommunication Indoor Site Acceptance Prosedur*

Dalam perancanaan jaringan indoor setiap operator mempunyai *Key Performance Index*, maka dari itu berikut Tabel 3.1 KPI HCPT dalam mendisain jaringan *indoor*.

Tabel 3.1 KPI (*Key Performance Index*) *Indoor Design* [9]

Building Type	2G		3G		CDMA	
	Rx Level	Coverage (%)	Rx Level	Coverage (%)	Rx Level	Coverage (%)
Air Ports	≥ -85 dBm	95	≥ -85 dBm	95	≥ -85 dBm	95
Mall	≥ -85 dBm	95	≥ -85 dBm	90	≥ -85 dBm	90
Convention Center	≥ -85 dBm	95	≥ -85 dBm	90	≥ -85 dBm	90
Hotel	≥ -85 dBm	95	≥ -85 dBm	90	≥ -85 dBm	90
Office Building	≥ -85 dBm	95	≥ -85 dBm	90	≥ -85 dBm	90
Others	≥ -85 dBm	95	≥ -85 dBm	90	≥ -85 dBm	90

Tabel berikut menerangkan kebutuhan KPI pada operator HCPT, setiap perancangan *indoor building* harus memenuhi KPI tersebut, KPI tersebut sudah memenuhi salah satu syarat ($RSL > Rth$), yaitu -85 dBm, yang melebihi nilai sensitivitas perangkat penerima dapat dilihat pada Tabel 3.3 dan Tabel 3.4, beberapa tipe *building* terbagi menurut *coverage area*.

Perhitungan *link budget* yang akan dilakukan pada pembahasan ini, yaitu lokasi area Mall Senayan City, yang mempunyai 14 lantai masing masing lantai (dapat dilihat pada lampiran) tersebut berbeda luas *coverage* dan target *coverage* juga partisi gedung, maka dari itu saya akan mengambil salah satu lantai untuk menjadi contoh dalam perhitungan *link budget* dari ketiga sistem jaringan tersebut, pada lantai *Lower Ground* (LG) ini ada empat antena yang akan saya analisa yaitu, antena A22, A20, A21 dan A19 menujukan lokasi letak nomor antenna (dapat dilihat pada sketsa Map bab empat atau lampiran), pada keempat antena tersebut akan membuktikan bahwa ketiga sistem tersebut mempunyai faktor-faktor yang

mempengaruhi keuntungan dan kerugikan dalam pemakain perangkat bersama.

Untuk memperoleh hasil perhitungan tersebut ada beberapa tahapan-tahapan sebagai berikut yang harus di perhatikan.

Pengumpulan data *matrial list* keempat antena tersebut :

- a. Panjang kabel *feeder (coaxial cable)* yang *di butuhkan*
- b. *Conektor yang di butuhkan*
- c. *Jumper yang di butuhkan*
- d. *Splitter yang di butuhkan*
- e. *Multi Combainer*

Berikut Tabel 3.2 yang menunjukan kebutuhan *matrial list* dan Tabel 3.3 Parameter *link budget Uplink*, Tabel 3.4 Parameter *Link Budget Downlink* yang di gunakan dalam perhitungan.

Tabel 3.2 *Matrial List*

Matreal list	A19	A20	A21	A22
Panjang feeder 7/8	15		20	40
Panjang feeder 1 1/4	105	225	165	165
Connector	4	6	6	6
Splitter 2 Way		1	1	1
Splitter 3 Way	2	1	1	1
Splitter 4 Way		1	1	1
Jumper	5	7	7	7
MCM	1	1	1	1

Tabel 3.3 Parameter Link Budget *Uplink*

Parameter	3G	2G	CDMA
	UPLINK	Loss (dB)	Loss (dB)
TX Node B Power	21	30	30
TX Antena Gain	0	0	0
Body Loss	3	3	3
EIRP	18	27	27
RX Sensitivity	-123,5	-110	-101,1
RX Antena Gain	3	3	3
Body Loss	0	0	0
Interference Margin	3	3	3
Minimum RX Level	-123,5	-110	-101,1
Frequency	2100 MHz	1800 Mhz	800 MHz

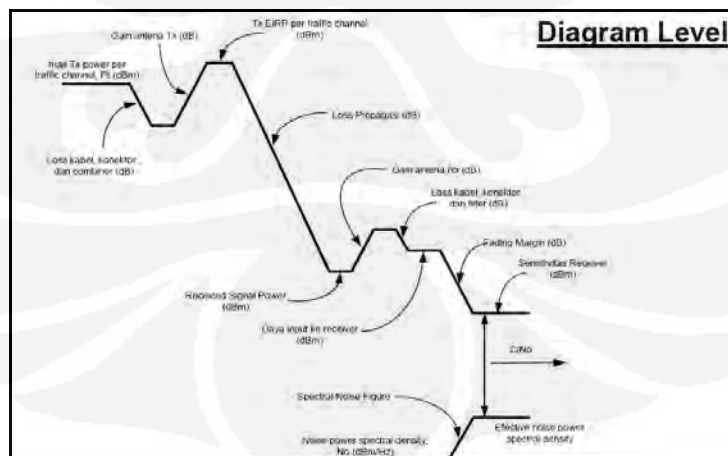
Tabel 3.4 Parameter *Link Budget Downlink*

Parameter	3G	2G	CDMA
DL	Loss (dB)	Loss (dB)	Loss (dB)
Threshold of area	-85	-85	-85
Area Probability	90	95	90
Edge Probability	75,80%	87,15%	75%
Shadowing Margin	6.3	10.2	5
Body loss	3	3	3
Coverage Threshold	-78,7	-74,8	-80
TX Node B Power	33	39	37
TX Antena Gain	3	3	3
Rx Sensitivity	-113,8	-102	-124
RX Antena Gain	0	0	0
Body Loss	3	3	3
Interference Margin	3	3	3
Frequency	2100 MHz	1800 MHz	800 MHz

Dari data-data tersebut akan di peroleh nilai EIRP pada *link budget* masing-masing sistem jaringan.

3.2 Perhitungan *Link Budget*

Dalam pehitungan *link budget* salah satunya mengetahui nilai EIRP pada masing- masing antena ada beberapa tahapan, berikut Gambar 3.1 menunjukkan diagram *link budget*.

Gambar 3.1 Diagram *Link Budget* [10]

Pada Gambar 3.1, yang harus diperhatikan, yaitu jumlah total *loss*, jumlah *loss* pada setiap sistem berbeda – beda bisa dilihat pada Tabel 3.3 dan Tabel 3.4, begitu juga nilai power BTS pada masing masing sistem berbeda bisa dilihat pada Tabel 3.3 dan Tabel 3.4, dan *gain* antena yang digunakan, pada perhitungan ini antena yang digunakan, adalah antena omni yang mempunyai gain 3dB dapat dilihat *specification* pada lampiran, dari data tersebut dapat nilai EIRP pada sistem *transmitter*, setelah itu dapat melakukan perhitungan nilai maksimum *pathloss* yang diizinkan dari kedua sisi, yaitu pada sisi *uplink* dan *downlink*, jika nilai *pathloss* dari sisi *uplink* dan *downlink* sudah didapat maka selanjutnya mengetahui nilai radius sel atau jarak pemancar dan level pada sisi penerima (*user*) agar dapat dibandingkan dengan data *walktest*.

3.3 Perhitungan *Link Budget* 2G

Berikut perhitungan masing - masing antena pada sistem 2G (1800), pada perhitungan EIRP pada sisi *transmitter*.

3.3.1 Pehitungan EIRP (*Transmitter*) 2G

Persamaan berikut, adalah untuk mengetahui nilai EIRP yaitu :

Untuk mengetahui nilai EIRP, harus diketahui terlebih dahulu nilai lossnya pada masing – masing antena, berikut perhitungannya.

- a. A19

$$\begin{aligned}
 \text{Total Loss} &= (-0,052)x(15) + (-0,039)x(105) + (-0,067)x(4) \\
 &\quad + (-5,3)x(2) + (-0,207)x(5) + (-6,8)x(1) \\
 &= -23,643 \text{ dB}
 \end{aligned}$$

- b. A20

$$\begin{aligned} \text{Total Loss} &= ((-0,039)x(225)) + ((-0,067)x(6)) + ((-3,3)x(1)) + \\ &\quad ((-5,3)x(1)) + ((-6,5)x(1)) + ((-6,8)x(1)) \\ &= -32,66 \text{ dB} \end{aligned}$$

c. A21

$$\begin{aligned}
 \text{Total Loss} &= ((-0,052)x(20)) + ((-0,039)x(165)) + ((-0,067)x(6)) \\
 &\quad + ((-3,3)x(1)) + ((-5,3)x(1)) + ((-6,5)x(1)) + ((-6,8)x(1)) \\
 &= -31,32 \text{ dB}
 \end{aligned}$$

d. A22

$$\begin{aligned}
 \text{Total Loss} &= ((-0,052)x(40)) + ((-0,039)x(165)) + ((-0,067)x(6)) \\
 &\quad + ((-3,3)x(1)) + ((-5,3)x(1)) + ((-6,5)x(1)) + ((-6,8)x(1)) \\
 &= -32,369 \text{ dB}
 \end{aligned}$$

1. A19

$$\begin{aligned} \text{EIRP} &= 39 \text{ dBm} + 3 \text{ dB} + (-23,643) \text{ dB} \\ &= \mathbf{18,35 \text{ dBm}} \end{aligned}$$

2. A20

$$\begin{aligned}\text{EIRP} &= 39 \text{ dBm} + 3 \text{ dB} + (-32,661) \text{ dB} \\ &= \mathbf{9.33 \text{ dBm}}\end{aligned}$$

3. A21

$$\begin{aligned}\text{EIRP} &= 39 \text{ dBm} + 3 \text{ dB} + (-31,327) \text{ dB} \\ &= \mathbf{10,67 \text{ dBm}}\end{aligned}$$

4. A22

$$\begin{aligned}\text{EIRP} &= 39 \text{ dBm} + 3 \text{ dB} + (-32,369) \text{ dB} \\ &= \mathbf{9.631 \text{ dBm}}\end{aligned}$$

3.3.2 Perhitungan *Maximum useful Pathloss (Downlink) 2G*

Persamaan berikut adalah untuk menghitung nilai maksimum *pathloss* pada sisi *downlink*, untuk mengetahui nilai *pathloss* tersebut, terlebih dahulu menghitung nilai minimum *Rx level*.

a. A19

$$\begin{aligned}
 \text{Coverage Threshold} &= \text{Threshold Area} + \text{Shadowing Margin.}(3.4) \\
 &= -85 \text{ dBm} + 10,2 \text{ dB} \\
 &= -74,80 \text{ dBm}
 \end{aligned}$$

$$\begin{aligned} L_{\max} (\text{DL}) &= 18,35 \text{ dBm} - (-96) \text{ dBm} + ((-74,80) - (-96)) \text{ dBm} \\ &= \mathbf{93,157 \text{ dBm}} \end{aligned}$$

b. A20

$$\begin{aligned}
 \text{Min Rx Lev} &= \text{Rx Sensitivity} - (\text{Rx Antenna Gain}) + \text{Body Loss} + \\
 &\quad \text{Interference Margin} \\
 &= (-102,0) \text{ dBm} - 0 \text{ dB} + 3 \text{ dB} + 3 \text{ dB} \\
 &= -96 \text{ dBm}
 \end{aligned}$$

$$\begin{aligned}
 \text{Coverage Threshold} &= \text{Threshold Area} + \text{Shadowing Margin} \\
 &= -85 \text{ dBm} + 10.2 \text{ dB} \\
 &\equiv -74.80 \text{ dBm}
 \end{aligned}$$

$$\begin{aligned} L_{\max} (\text{DL}) &= 9,33 \text{ dBm} - (-96) \text{ dBm} + ((-74,80) - (-96)) \text{ dBm} \\ &= \mathbf{84,139 \text{ dBm}} \end{aligned}$$

c. A21

$$\begin{aligned}
 \text{Min Rx Lev} &= \text{Rx Sensitivity} - (\text{Rx Antenna Gain}) + \text{Body Loss} + \\
 &\quad \text{Interference Margin} \\
 &= (-102,0) \text{ dBm} - 0 \text{ dB} + 3 \text{ dB} + 3 \text{ dB} \\
 &= -96 \text{ dBm}
 \end{aligned}$$

$$\begin{aligned}\text{Coverage Threshold} &= \text{Threshold Area} + \text{Shadowing Margin} \\ &= -85 \text{ dBm} + 6,3 \text{ dB} \\ &= -78,70 \text{ dBm}\end{aligned}$$

$$\begin{aligned} L_{\max} (\text{DL}) &= 10,67 \text{ dBm} - (-96) \text{ dBm} + ((-74,80) - (-96)) \text{ dBm} \\ &= \mathbf{85.473 \text{ dBm}} \end{aligned}$$

d. A22

$$\begin{aligned}
 \text{Min Rx Lev} &= \text{Rx Sensitivity} - (\text{Rx Antenna Gain}) + \text{Body Loss} + \\
 &\quad \text{Interference Margin} \\
 &= (-102,0) \text{ dBm} - 0 \text{ dB} + 3 \text{ dB} + 3 \text{ dB} \\
 &= -96 \text{ dBm}
 \end{aligned}$$

$$\begin{aligned}\text{Coverage Threshold} &= \text{Threshold Area} + \text{Shadowing Margin} \\ &= -85 \text{ dBm} + 6.3 \text{ dB} \\ &= -78.70 \text{ dBm}\end{aligned}$$

$$\begin{aligned} L_{\max} (\text{DL}) &= 9,631 \text{ dBm} - (-96) \text{ dBm} + ((-74,80) - (-96)) \text{ dBm} \\ &= \mathbf{84,431 \text{ dBm}} \end{aligned}$$

3.3.3 Perhitungan *Maximum useful Pathloss (Uplink) 2G*

Persamaan berikut adalah untuk menghitung nilai maksimum *pathloss* pada sisi *Uplink*, untuk mengetahui nilai *pathloss* tersebut, terlebih dahulu menghitung nilai minimum *Rx level*.

a. A19

$$L_{\max}(\text{UL}) = \text{EIRP(BTS)} - (\text{Minimum Rx level}) \dots \dots \dots (3.5)$$

$$L_{\max} (\text{UL}) = 27 \text{ dBm} - (-110) \text{ dBm}$$

= 137 dBm

b. A20

$$L_{\max} (\text{UL}) = \text{EIRP (BTS)} - (\text{Minimum Rx level})$$

$$\begin{aligned} \text{Min Rx Lev} &= \text{Rx Sensitivity} - (\text{Rx Antenna Gain}) + \text{Body Loss} + \\ &\quad \text{Interference Margin} \\ &= -110 - (3) \text{ dB} + 0 \text{ dB} + 3 \text{ dB} \end{aligned}$$

$$= -110 \text{ dBm}$$

$$\begin{aligned} \text{EIRP (BTS)} &= \text{Tx power BTS} + \text{Body Loss} \\ &= 30 \text{ dBm} - 3 \text{ dBm} \\ &= 27 \text{ dBm} \end{aligned}$$

$$\begin{aligned} L_{\max} (\text{UL}) &= 27 \text{ dBm} - (-110) \text{ dBm} \\ &= \mathbf{137 \text{ dBm}} \end{aligned}$$

c. A21

$$L_{\max} (\text{UL}) = \text{EIRP (BTS)} - (\text{Minimum Rx level})$$

$$\begin{aligned} \text{Min Rx Lev} &= \text{Rx Sensitivity} - (\text{Rx Antenna Gain}) + \text{Body Loss} + \\ &\quad \text{Interference Margin} \\ &= -110 - (3) \text{ dB} + 0 \text{ dB} + 3 \text{ dB} \\ &= -110 \text{ dBm} \end{aligned}$$

$$\begin{aligned} \text{EIRP (BTS)} &= \text{Tx power BTS} + \text{Body Loss} \\ &= 30 \text{ dBm} - 3 \text{ dBm} \\ &= 27 \text{ dBm} \end{aligned}$$

$$\begin{aligned} L_{\max} (\text{UL}) &= 27 \text{ dBm} - (-110) \text{ dBm} \\ &= \mathbf{137 \text{ dBm}} \end{aligned}$$

d. A22

$$L_{\max} (\text{UL}) = \text{EIRP (BTS)} - (\text{Minimum Rx level})$$

$$\begin{aligned} \text{Min Rx Lev} &= \text{Rx Sensitivity} - (\text{Rx Antenna Gain}) + \text{Body Loss} + \\ &\quad \text{Interference Margin} \\ &= -110 - (3) \text{ dB} + 0 \text{ dB} + 3 \text{ dB} \\ &= -110 \text{ dBm} \end{aligned}$$

$$\begin{aligned} \text{EIRP (BTS)} &= \text{Tx power BTS} + \text{Body Loss} \\ &= 30 \text{ dBm} - 3 \text{ dBm} \\ &= 27 \text{ dBm} \end{aligned}$$

$$\begin{aligned} L_{\max} (\text{UL}) &= 27 \text{ dBm} - (-110) \text{ dBm} \\ &= \mathbf{137 \text{ dBm}} \end{aligned}$$

3.3.4 Perhitungan Cell Radius 2G

Pada persamaan di bawah ini merupakan, perhitungan untuk mengetahui nilai radius sel pada masing masing antena, dimana masing –

masing antena mempunyai *coverage* berbeda - beda pada sistem 2G (1800 MHz).

a. A19

b. A20

$$\begin{aligned}
 \text{Cell radius} &= 10^{((\text{MIN(Pathloss)} - (32,44 + 20 \log 10 \\
 &\quad 10(\text{Frequency Sistem}/1000))/10/\text{Pathloss exponent}))} \\
 &= 10^{((84,139 - (32,44 + 20 \log 10 \\
 &\quad (1800/1000))/10/3.8))} \\
 &= \mathbf{16,83 \text{ m}}
 \end{aligned}$$

c. A21

$$\begin{aligned}
 \text{Cell radius} &= 10^{((\text{MIN(Pathloss)} - (32,44 + 20 \log 10 \\
 &\quad 10(\text{Frequency Sistem}/1000))/10/\text{Pathloss exponent}))} \\
 &= 10^{((85,473) - (32,44 + 20 \log 10 \\
 &\quad (1800/1000))/10/3,8)} \\
 &= \mathbf{18,24 \text{ m}}
 \end{aligned}$$

d. A22

$$\begin{aligned}
 \text{Cell radius} &= 10^{((\text{MIN(Pathloss)} - (32,44 + 20 \log 10 \\
 &\quad 10(\text{Frequency Sistem}/1000))/10/\text{Pathloss exponent}))} \\
 &= 10^{((84,431) - (32,44 + 20 \log 10 \\
 &\quad (1800/1000))/10/3,8)} \\
 &= \mathbf{17,123 \text{ m}}
 \end{aligned}$$

3.4 Perhitungan Link Budget UMTS 3G

Berikut perhitungan masing - masing antena pada sistem 3G, pada perhitungan EIRP pada sisi *transmitter*.

3.4.1 Pehitungan EIRP (*Transmitter*) 3G

Persamaan berikut, adalah untuk mengetahui nilai EIRP yaitu :

$$\text{EIRP} = \text{BTS Power} + \text{Gain Antena} - \text{Loss}$$

Untuk mengetahui nilai EIRP, harus diketahui terlebih dahulu nilai lossnya pada masing – masing antena, berikut perhitungannya.

Perhitungan Nilai *Loss*

a. A19

$$\begin{aligned}\text{Total Loss} &= ((-0,056)x(15)) + ((-0,043)x(105)) + ((-0,072)x(4)) \\ &\quad + ((-5,3)x(2)) + ((-0,222)x(5)) + ((-6,8)x(1)) \\ &= - 24,212 \text{ dB}\end{aligned}$$

b. A20

$$\begin{aligned}\text{Total Loss} &= ((-0,043)x(225)) + ((-0,072)x(6)) + ((-3,3)x(1)) + \\ &\quad ((-5,3)x(1)) + ((-6,5)x(1)) + ((-6,8)x(1)) \\ &= - 33,66 \text{ dB}\end{aligned}$$

c. A21

$$\begin{aligned}\text{Total Loss} &= ((-0,056)x(20)) + ((-0,043)x(165)) + ((0,072)x(6)) \\ &\quad + ((-3,3)x(1)) + ((-5,3)x(1)) + ((-6,5)x(1)) + ((-6,8)x(1)) \\ &= -32.19 \text{ dB}\end{aligned}$$

d. A22

$$\begin{aligned}\text{Total Loss} &= ((-0,056)x(40)) + ((-0,043)x(165)) + ((0,072)x(6)) \\ &\quad + ((-3,3)x(1)) + ((-5,3)x(1)) + ((-6,5)x(1)) + ((-6,8)x(1)) \\ &= -33,327 \text{ dB}\end{aligned}$$

1. A19

$$\begin{aligned}\text{EIRP} &= 33 \text{ dBm} + 3 \text{ dB} + (-24,212) \text{ dB} \\ &= \mathbf{11,78 \text{ dBm}}\end{aligned}$$

2. A20

$$\text{EIRP} = 33 \text{ dBm} + 3 \text{ dB} + (-33.66) \text{ dB}$$

$$= 2,34 \text{ dBm}$$

3. A21

$$\text{EIRP} = 33 \text{ dBm} + 3 \text{ dB} + (-32,19) \text{ dB}$$

$$= 3,81 \text{ dBm}$$

4. A24

$$\text{EIRP} = 33 \text{ dBm} + 3 \text{ dB} + (-33,327) \text{ dB}$$

$$= 2,673 \text{ dBm}$$

3.4.2 Perhitungan Maximum useful Pathloss (Downlink) 3G

Persamaan berikut adalah untuk menghitung nilai maksimum *pathloss* pada sisi *downlink*, untuk mengetahui nilai *pathloss* tersebut, terlebih dahulu menghitung nilai minimum *Rx level*.

$$L_{\max} (\text{DL}) = \text{EIRP} - (\text{Min Rx Level} + (\text{Min Rx Level} - \text{Coverage Threshold}))$$

a. A19

$$\begin{aligned} \text{Min Rx Lev} &= \text{Rx Sensitivity} - (\text{Rx Antenna Gain}) + \text{Body Loss} + \\ &\quad \text{Interference Margin} \\ &= (-113,8) \text{ dBm} - 0 \text{ dB} + 3 \text{ dB} + 3 \text{ dB} \\ &= -107,8 \text{ dBm} \end{aligned}$$

$$\begin{aligned} \text{Coverage Threshold} &= \text{Threshold Area} + \text{Shadowing Margin} \\ &= -85 \text{ dBm} + 6,3 \text{ dB} \\ &= -78,70 \text{ dBm} \end{aligned}$$

$$\begin{aligned} L_{\max} (\text{DL}) &= 11,78 \text{ dBm} - (-107,8) \text{ dBm} + ((-107,8) - (-78,70)) \text{ dBm} \\ &= 90,488 \text{ dBm} \end{aligned}$$

b. A20

$$\begin{aligned} \text{Min Rx Lev} &= \text{Rx Sensitivity} - (\text{Rx Antenna Gain}) + \text{Body Loss} + \\ &\quad \text{Interference Margin} \\ &= (-113,8) \text{ dBm} - 0 \text{ dB} + 3 \text{ dB} + 3 \text{ dB} \\ &= -107,8 \text{ dBm} \end{aligned}$$

$$\begin{aligned} \text{Coverage Threshold} &= \text{Threshold Area} + \text{Shadowing Margin} \\ &= -85 \text{ dBm} + 6,3 \text{ dB} \end{aligned}$$

$$= -78,70 \text{ dBm}$$

$$\begin{aligned} L_{\max} (\text{DL}) &= 2,34 \text{ dBm} - (-107,8) \text{ dBm} + ((-107,8) - (-78,70)) \text{ dBm} \\ &= \mathbf{81,04 \text{ dBm}} \end{aligned}$$

c. A21

$$\begin{aligned} \text{Min Rx Lev} &= \text{Rx Sensitivity} - (\text{Rx Antenna Gain}) + \text{Body Loss} + \\ &\quad \text{Interference Margin} \\ &= (-113,8) \text{ dBm} - 0 \text{ dB} + 3 \text{ dB} + 3 \text{ dB} \\ &= -107,8 \text{ dBm} \end{aligned}$$

$$\begin{aligned} \text{Coverage Threshold} &= \text{Threshold Area} + \text{Shadowing Margin} \\ &= -85 \text{ dBm} + 6,3 \text{ dB} \\ &= -78,70 \text{ dBm} \end{aligned}$$

$$\begin{aligned} L_{\max} (\text{DL}) &= 3,809 \text{ dBm} - (-107,8) \text{ dBm} + ((-107,8) - (-78,70)) \text{ dBm} \\ &= \mathbf{82,509 \text{ dBm}} \end{aligned}$$

d. A22

$$\begin{aligned} \text{Min Rx Lev} &= \text{Rx Sensitivity} - (\text{Rx Antenna Gain}) + \text{Body Loss} + \\ &\quad \text{Interference Margin} \\ &= (-113,8) \text{ dBm} - 0 \text{ dB} + 3 \text{ dB} + 3 \text{ dB} \\ &= -107,8 \text{ dBm} \end{aligned}$$

$$\begin{aligned} \text{Coverage Threshold} &= \text{Threshold Area} + \text{Shadowing Margin} \\ &= -85 \text{ dBm} + 6,3 \text{ dB} \\ &= -78,70 \text{ dBm} \end{aligned}$$

$$\begin{aligned} L_{\max} (\text{DL}) &= 2,673 \text{ dBm} - (-107,8) \text{ dBm} + ((-107,8) - (-78,70)) \text{ dBm} \\ &= \mathbf{81,373 \text{ dBm}} \end{aligned}$$

3.4.3 Perhitungan *Maximum useful Pathloss (Uplink) 3G*

Persamaan berikut adalah untuk menghitung nilai maksimum *pathloss* pada sisi *Uplink*, untuk mengetahui nilai *pathloss* tersebut, terlebih dahulu menghitung nilai minimum *Rx level*.

a. A19

$$L_{\max} (\text{UL}) = \text{EIRP (BTS)} - (\text{Minimum Rx level})$$

$$\text{Min Rx Lev} = \text{Rx Sensitivity} - (\text{Rx Antenna Gain}) + \text{Body Loss} + \text{Interference Margin}$$

$$= -123,5 - (3) \text{ dBi} + 0 \text{ dB} + 3 \text{ dB}$$

$$= -123,5 \text{ dBm}$$

$$\text{EIRP (BTS)} = \text{Tx power BTS} + \text{Body Loss}$$

$$= 21 \text{ dBm} - 3 \text{ dBm}$$

$$= 18 \text{ dBm}$$

$$L_{\max} (\text{UL}) = 18 \text{ dBm} - (-123,5) \text{ dBm}$$

$$= \mathbf{141,5 \text{ dBm}}$$

b. A20

$$L_{\max} (\text{UL}) = \text{EIRP (BTS)} - (\text{Minimum Rx level})$$

$$\text{Min Rx Lev} = \text{Rx Sensitivity} - (\text{Rx Antenna Gain}) + \text{Body Loss} +$$

Interference Margin

$$= -123,5 - (3) \text{ dBi} + 0 \text{ dB} + 3 \text{ dB}$$

$$= -123,5 \text{ dB}$$

$$\text{EIRP (BTS)} = \text{Tx power BTS} + \text{Body Loss}$$

$$= 21 \text{ dBm} - 3 \text{ dBm}$$

$$= 18 \text{ dBm}$$

$$L_{\max} (\text{UL}) = 18 \text{ dBm} - (-123,5) \text{ dBm}$$

$$= \mathbf{141,5 \text{ dBm}}$$

c. A21

$$L_{\max} (\text{UL}) = \text{EIRP (BTS)} - (\text{Minimum Rx level})$$

$$\text{Min Rx Lev} = \text{Rx Sensitivity} - (\text{Rx Antenna Gain}) + \text{Body Loss} +$$

Interference Margin

$$= -123,5 - (3) \text{ dBi} + 0 \text{ dB} + 3 \text{ dB}$$

$$= -123,5 \text{ dB}$$

$$\text{EIRP (BTS)} = \text{Tx power BTS} + \text{Body Loss}$$

$$= 21 \text{ dBm} - 3 \text{ dBm}$$

$$= 18 \text{ dBm}$$

$$L_{\max} (\text{UL}) = 18 \text{ dBm} - (-123,5) \text{ dBm}$$

$$= \mathbf{141,5 \text{ dBm}}$$

d. A22

$$\begin{aligned}
 L_{\max} (\text{UL}) &= \text{EIRP (BTS)} - (\text{Minimum Rx level}) \\
 \text{Min Rx Lev} &= \text{Rx Sensitivity} - (\text{Rx Antenna Gain}) + \text{Body Loss} + \\
 &\quad \text{Interference Margin} \\
 &= -123,5 - (3) \text{ dB} + 0 \text{ dB} + 3 \text{ dB} \\
 &= -123,5 \text{ dB} \\
 \text{EIRP (BTS)} &= \text{Tx power BTS} + \text{Body Loss} \\
 &= 21 \text{ dBm} - 3 \text{ dBm} \\
 &= 18 \text{ dBm} \\
 L_{\max} (\text{UL}) &= 18 \text{ dBm} - (-123,5) \text{ dB} \\
 &= \mathbf{141,5 \text{ dBm}}
 \end{aligned}$$

3.4.4 Perhitungan Radius Cell 3G

Pada persamaan di bawah ini merupakan, perhitungan untuk mengetahui nilai radius sel pada masing masing antena, dimana masing – masing antena mempunyai coverage berbeda - beda pada sistem 3G.

a. A19

$$\begin{aligned}
 \text{Cell radius} &= 10^{(\text{MIN(Pathloss)} - (32,44 + 20 \log 10(\text{Frequency} \\
 &\quad \text{Sistem}/1000))/10/\text{Pathloss exponent})} \\
 &= 10^{((90,488) - (32,44 + 20 \log 10(2100/1000)))/10/4,2} \\
 &= \mathbf{16,93 \text{ m}}
 \end{aligned}$$

b. A20

$$\begin{aligned}
 \text{Cell radius} &= 10^{(\text{MIN(Pathloss)} - (32,44 + 20 \log 10(\text{Frequency} \\
 &\quad \text{Sistem}/1000))/10/\text{Pathloss exponent})} \\
 &= 10^{((88,039) - (32,44 + 20 \log 10(1800/1000)))/10/3,8} \\
 &= \mathbf{12,863 \text{ m}}
 \end{aligned}$$

c. A21

$$\begin{aligned}
 \text{Cell radius} &= 10^{(\text{MIN(Pathloss)} - (32,44 + 20 \log 10(\text{Frequency} \\
 &\quad \text{Sistem}/1000))/10/\text{Pathloss exponent})} \\
 &= 10^{((82,509) - (32,44 + 20 \log 10(2100/1000)))/10/3,8} \\
 &= \mathbf{14,061 \text{ m}}
 \end{aligned}$$

d. A22

$$\begin{aligned}
 \text{Cell radius} &= 10^{(\text{MIN(Pathloss)} - (32,44 + 20 \log_{10}(\text{Frequency Sistem}/1000))) / 10 / \text{Pathloss exponent})} \\
 &= 10^{((81,373) - (32,44 + 20 \log_{10}(2100/1000))) / 10 / 3.8} \\
 &= 13,126 \text{ m}
 \end{aligned}$$

3.5 Perhitungan *Link Budget* CDMA

Berikut perhitungan masing - masing antena pada sistem CDMA (800 MHz), pada perhitungan EIRP pada sisi *transmitter*.

3.5.1 Perhitungan EIRP (*Transmitter*) CDMA

Persamaan berikut, adalah untuk mengetahui nilai EIRP yaitu :

$$\text{EIRP} = \text{BTS Power} + \text{Gain Antena} - \text{Loss}$$

Untuk mengetahui nilai EIRP, harus diketahui terlebih dahulu nilai *lossnya* pada masing - masing antena, berikut perhitungannya.

Perhitungan Nilai *Loss*

a. A19

$$\begin{aligned}
 \text{Total Loss} &= ((-0,0474)x(15)) + ((-0,0357)x(105)) + ((-0,0617)x(4)) \\
 &\quad + ((-5,3)x(2)) + ((-0,192)x(5)) + ((-6,8)x(1)) \\
 &= -23,074 \text{ dB}
 \end{aligned}$$

b. A20

$$\begin{aligned}
 \text{Total Loss} &= ((-0,0357)x(225)) + ((-0,0617)x(6)) + ((-3,3)x(1)) \\
 &\quad + ((-5,3)x(1)) + ((-6,5)x(1)) + ((-6,8)x(1)) \\
 &= -31,66 \text{ dB}
 \end{aligned}$$

c. A21

$$\begin{aligned}
 \text{Total Loss} &= ((-0,0474)x(20)) + ((-0,0357)x(165)) + \\
 &\quad ((0,0617)x(6)) + ((-3,3)x(1)) + ((-5,3)x(1)) + ((-6,5)x(1)) \\
 &\quad + ((-6,8)x(1)) \\
 &= -30,464 \text{ dB}
 \end{aligned}$$

d. A22

$$\begin{aligned} \text{Total Loss} &= ((-0,0474)x(40)) + ((-0,0357)x(165)) + \\ &+ ((0,0617)x(6)) + ((-3,3)x(1)) + ((-5,3)x(1)) + ((- \\ &- 6,5)x(1)) + ((-6,8)x(1)) \\ &= -31,412 \text{ dB} \end{aligned}$$

1. A19

$$\begin{aligned} \text{EIRP} &= 37 \text{ dBm} + 3 \text{ dB} + (-23,074) \text{ dB} \\ &= \mathbf{16,92 \text{ dBm}} \end{aligned}$$

2. A20

$$\begin{aligned} \text{EIRP} &= 37 \text{ dBm} + 3 \text{ dB} + (-31,66) \text{ dB} \\ &= \mathbf{8,33 \text{ dBm}} \end{aligned}$$

3. A21

$$\begin{aligned} \text{EIRP} &= 37 \text{ dBm} + 3 \text{ dB} + (-30,464) \text{ dB} \\ &= \mathbf{9,53 \text{ dBm}} \end{aligned}$$

4. A22

$$\begin{aligned} \text{EIRP} &= 37 \text{ dBm} + 3 \text{ dB} + (-31,412) \text{ dB} \\ &= \mathbf{8,58 \text{ dBm}} \end{aligned}$$

3.5.2 Perhitungan Maximum useful Pathloss (Downlink) CDMA

Persamaan berikut adalah untuk menghitung nilai maksimum *pathloss* pada sisi *Downlink*, untuk mengetahui nilai *pathloss* tersebut terlebih dahulu menghitung nilai minimum *Rx level*.

$$L_{\max}(\text{DL}) = \text{EIRP} - (\text{Min Rx Level}) + (\text{Min Rx Level} - \text{Coverage Threshold})$$

a. A19

$$\begin{aligned} \text{Min Rx Lev} &= \text{Rx Sensitivity} - (\text{Rx Antenna Gain}) + \text{Body Loss} + \\ &\quad \text{Interference Margin} \\ &= (-124) \text{ dBm} - 0 \text{ dB} + 3 \text{ dB} + 3 \text{ dB} \\ &= -118 \text{ dBm} \end{aligned}$$

$$\text{Coverage Threshold} = \text{Threshold Area} + \text{Shadowing Margin}$$

$$\begin{aligned} &= -85 \text{ dBm} + 5 \text{ dB} \\ &= -80 \text{ dBm} \end{aligned}$$

$$\begin{aligned} L_{\max} (\text{DL}) &= 16,92 \text{ dBm} - (-118) \text{ dBm} + ((-118) - (-80)) \text{ dBm} \\ &= \mathbf{96,92 \text{ dB}} \end{aligned}$$

b. A20

$$\begin{aligned} \text{Min Rx Lev} &= \text{Rx Sensitivity} - (\text{Rx Antenna Gain}) + \text{Body Loss} + \\ &\quad \text{Interference Margin} \\ &= (-124) \text{ dBm} - 0 \text{ dB} + 3 \text{ dB} + 3 \text{ dB} \\ &= -118 \text{ dBm} \end{aligned}$$

$$\begin{aligned} \text{Coverage Threshold} &= \text{Threshold Area} + \text{Shadowing Margin} \\ &= -85 \text{ dBm} + 5 \text{ dB} \\ &= -80 \text{ dBm} \end{aligned}$$

$$\begin{aligned} L_{\max} (\text{DL}) &= 8,33 \text{ dBm} - (-118) \text{ dBm} + ((-118) - (-80)) \text{ dBm} \\ &= \mathbf{88,33 \text{ dBm}} \end{aligned}$$

c. A21

$$\begin{aligned} \text{Min Rx Lev} &= \text{Rx Sensitivity} - (\text{Rx Antenna Gain}) + \text{Body Loss} + \\ &\quad \text{Interference Margin} \\ &= (-124) \text{ dBm} - 0 \text{ dB} + 3 \text{ dB} + 3 \text{ dB} \\ &= -118 \text{ dBm} \end{aligned}$$

$$\begin{aligned} \text{Coverage Threshold} &= \text{Threshold Area} + \text{Shadowing Margin} \\ &= -85 \text{ dBm} + 5 \text{ dB} \\ &= -80 \text{ dBm} \end{aligned}$$

$$\begin{aligned} L_{\max} (\text{DL}) &= 9,53 \text{ dBm} - (-118) \text{ dBm} + ((-118) - (-80)) \text{ dBm} \\ &= \mathbf{89,53 \text{ dBm}} \end{aligned}$$

d. A22

$$\begin{aligned} \text{Min Rx Lev} &= \text{Rx Sensitivity} - (\text{Rx Antenna Gain}) + \text{Body Loss} + \\ &\quad \text{Interference Margin} \\ &= (-124) \text{ dBm} - 0 \text{ dB} + 3 \text{ dB} + 3 \text{ dB} \\ &= -118 \text{ dBm} \end{aligned}$$

$$\begin{aligned} \text{Coverage Threshold} &= \text{Threshold Area} + \text{Shadowing Margin} \\ &= -85 \text{ dBm} + 5 \text{ dB} \end{aligned}$$

$$= -80 \text{ dBm}$$

$$\begin{aligned} L_{\max} (\text{DL}) &= 8,58 \text{ dBm} - (-118) \text{ dBm} + ((-118) - (-80)) \text{ dBm} \\ &= \mathbf{88,58 \text{ dBm}} \end{aligned}$$

3.5.3 Perhitungan *Maximum useful Pathloss (Uplink)* CDMA

Persamaan berikut adalah untuk menghitung nilai maksimum *pathloss* pada sisi *Uplink*, untuk mengetahui nilai *pathloss* tersebut, terlebih dahulu menghitung nilai minimum *Rx level*.

a. A19

$$L_{\max} (\text{UL}) = \text{EIRP (BTS)} - (\text{Minimum Rx level})$$

$$\begin{aligned} \text{Min Rx Lev} &= \text{Rx Sensitivity} - (\text{Rx Antenna Gain}) + \text{Body Loss} + \\ &\quad \text{Interference Margin} \\ &= -101,1 - (3) \text{ dBi} + 0 \text{ dB} + 3 \text{ dB} \\ &= -101,1 \text{ dBm} \end{aligned}$$

$$\begin{aligned} \text{EIRP (BTS)} &= \text{Tx power BTS} + \text{Body Loss} \\ &= 30 \text{ dBm} - 3 \text{ dBm} \\ &= 27 \text{ dBm} \end{aligned}$$

$$\begin{aligned} L_{\max} (\text{UL}) &= 27 \text{ dBm} - (-101,1) \text{ dBm} \\ &= \mathbf{128,1 \text{ dBm}} \end{aligned}$$

b. A20

$$L_{\max} (\text{UL}) = \text{EIRP (BTS)} - (\text{Minimum Rx level})$$

$$\begin{aligned} \text{Min Rx Lev} &= \text{Rx Sensitivity} - (\text{Rx Antenna Gain}) + \text{Body Loss} + \\ &\quad \text{Interference Margin} \\ &= -101,1 - (3) \text{ dBi} + 0 \text{ dB} + 3 \text{ dB} \\ &= -101,1 \text{ dB} \end{aligned}$$

$$\begin{aligned} \text{EIRP (BTS)} &= \text{Tx power BTS} + \text{Body Loss} \\ &= 30 \text{ dBm} - 3 \text{ dBm} \\ &= 27 \text{ dBm} \end{aligned}$$

$$\begin{aligned} L_{\max} (\text{UL}) &= 27 \text{ dBm} - (-101,1) \text{ dB} \\ &= \mathbf{128,1 \text{ dBm}} \end{aligned}$$

c. A21

$$\begin{aligned}
 L_{\max} (\text{UL}) &= \text{EIRP (BTS)} - (\text{Minimum Rx level}) \\
 \text{Min Rx Lev} &= \text{Rx Sensitivity} - (\text{Rx Antenna Gain}) + \text{Body Loss} + \\
 &\quad \text{Interference Margin} \\
 &= -101,1 - (3) \text{ dB} + 0 \text{ dB} + 3 \text{ dB} \\
 &= -101,1 \text{ dB} \\
 \text{EIRP (BTS)} &= \text{Tx power BTS} + \text{Body Loss} \\
 &= 30 \text{ dBm} - 3 \text{ dBm} \\
 &= 27 \text{ dBm} \\
 L_{\max} (\text{UL}) &= 27 \text{ dBm} - (-101,1) \text{ dB} \\
 &= \mathbf{128,1 \text{ dBm}}
 \end{aligned}$$

d. A22

$$\begin{aligned}
 L_{\max} (\text{UL}) &= \text{EIRP (BTS)} - (\text{Minimum Rx level}) \\
 \text{Min Rx Lev} &= \text{Rx Sensitivity} - (\text{Rx Antenna Gain}) + \text{Body Loss} + \\
 &\quad \text{Interference Margin} \\
 &= -101,1 - (3) \text{ dB} + 0 \text{ dB} + 3 \text{ dB} \\
 &= -101,1 \text{ dB} \\
 \text{EIRP (BTS)} &= \text{Tx power BTS} + \text{Body Loss} \\
 &= 30 \text{ dBm} - 3 \text{ dBm} \\
 &= 27 \text{ dBm} \\
 L_{\max} (\text{UL}) &= 27 \text{ dBm} - (-101,1) \text{ dB} \\
 &= \mathbf{128,1 \text{ dBm}}
 \end{aligned}$$

3.5.4 Perhitungan Radius Cell CDMA

Pada persamaan di bawah ini merupakan, perhitungan untuk mengetahui nilai radius sel pada masing masing antena pada akhirnya agar mengetahui nilai maksimum masing –masing antena pada sistem CDMA (800 MHz).

a. A19

$$\text{Cell radius} = 10^{((\text{MIN(Pathloss}) - (32,44 + 20 \log_{10}(\text{Frequency Sistem}/1000)))}/10/\text{Pathloss exponen})$$

$$\begin{aligned}
 &= 10^{((96,92) - (32,44 + 20 \log 10 (800/1000))/10/4,2)} \\
 &= \mathbf{38,15 \text{ m}}
 \end{aligned}$$

b. A20

$$\begin{aligned}
 \text{Cell radius} &= 10^{((\text{MIN(Pathloss)} - (32,44 + 20 \log 10 (\text{Frequency Sistem}/1000)))/10/\text{Pathloss exponent})} \\
 &= 10^{((88,33) - (32,44 + 20 \log 10 (800/1000))/10/3,8)} \\
 &= \mathbf{33,26 \text{ m}}
 \end{aligned}$$

c. A21

$$\begin{aligned}
 \text{Cell radius} &= 10^{((\text{MIN(Pathloss)} - (32,44 + 20 \log 10 (\text{Frequency Sistem}/1000)))/10/\text{Pathloss exponent})} \\
 &= 10^{((89,53) - (32,44 + 20 \log 10 (800/1000))/10/3,8)} \\
 &= \mathbf{35,77 \text{ m}}
 \end{aligned}$$

d. A22

$$\begin{aligned}
 \text{Cell radius} &= 10^{((\text{MIN(Pathloss)} - (32,44 + 20 \log 10 (\text{Frequency Sistem}/1000)))/10/\text{Pathloss exponent})} \\
 &= 10^{((88,58) - (32,44 + 20 \log 10 (800/1000))/10/3,8)} \\
 &= \mathbf{33,77 \text{ m}}
 \end{aligned}$$

3.6 Hasil Perbandingan ke Tiga Sistem pada *Multi Network*

Berikut adalah hasil perbandingan pada masing – masing sistem dalam perangkat *multi network*, ditunjukkan pada Tabel 3.5.

Tabel 3.5 Hasil Perhitungan Tiga Sistem pada *Multi Network*

Frekuensi	800				1800				2100			
	Antena	19	20	21	22	19	20	21	22	19	20	21
Total Loss (dB)	-23.07	-31.66	-30.46	-31.41	-23.64	-32.66	-31.33	-32.37	-24.21	-33.66	-32.19	-33.33
EIRP Transmitter (dBm)	16.93	8.34	9.54	8.59	18.36	9.34	10.67	9.63	11.79	2.34	3.81	2.67
EIRP BTS (dBm)	27	27	27	27	27	27	27	27	18	18	18	18
L _{max} Downlink (dB)	96.93	88.34	89.54	88.59	93.16	84.14	85.47	84.43	90.49	81.04	82.51	81.37
L _{max} Uplink (dB)	128.1	128.1	128.1	128.1	137	137	137	137	141.5	141.5	141.5	141.5
Radius Cell(m)	38.15	33.27	35.77	33.77	21.09	16.83	18.25	17.13	16.93	12.86	14.06	13.13

3.7 Perhitungan *Carrier to Noise (C/N)*

Perhitungan C/N, yaitu untuk mengetahui nilai perbandingan antara daya sinyal pembawa dengan daya derau (*noise*) pada dua sisi, yaitu sisi *Downlink* dan sisi *Uplink*, ditunjukan pada persamaan berikut.

$$(C/N)_{u/d} = (EIRP) - (L_{max})_{u/d} - K - \text{Noise BW}$$

Untuk mendapatkan nilai C/N total, harus mengetahui nilai C/N_u pada sisi *Uplink*, dan C/N_d pada sisi *Downlink*, dan satu lagi yaitu mengetahui nilai *noise bandwidth* pada persamaan berikut.

$$N = k \cdot T \cdot B$$

$$\text{Noise BW} = N + \text{noise figure}$$

$$C/N_t = ((C/N)_u^{-1} + (C/N)_d^{-1})^{-1}$$

Perhitungan C/N pada ketiga sistem yaitu:

- a. Sistem CDMA

Perhitungan pada masing – masing antena :

Up-Link (Reverse):

- a. A19

$$\begin{aligned} \text{Noise BW} &= (((10) \times (\log(1,38 \times 10^{-23}))) \times (290) \times \\ &\quad (2,5 \times 10^6)) / 1) + 7 \\ &= -133 \text{ dB} \end{aligned}$$

$$\begin{aligned} (C/N)_u &= (27 \text{ dBm}) - (128,1 \text{ dB}) - (1,38 \times 10^{-23} \text{ K/J}) - \\ &\quad (-133 \text{ dB}) \\ &= \mathbf{31 \text{ dB}} \end{aligned}$$

- b. A20

$$\begin{aligned} \text{Noise BW} &= (((10) \times (\log(1,38 \times 10^{-23}))) \times (290) \times \\ &\quad (2,5 \times 10^6)) / 1) + 7 \\ &= -133 \text{ dB} \end{aligned}$$

$$\begin{aligned} (C/N)_u &= (27 \text{ dBm}) - (128,1 \text{ dB}) - (1,38 \times 10^{-23} \text{ K/J}) - \\ &\quad (-133 \text{ dB}) \\ &= \mathbf{31 \text{ dB}} \end{aligned}$$

c. A21

$$\begin{aligned}
 \text{Noise BW} &= (((10) \times (\log(1,38 \times 10^{-23}))) \times (290) \times \\
 &\quad (2,5 \times 10^6)) / 1) + 7 \\
 &= -133 \text{ dB} \\
 (\text{C/N})_u &= (27 \text{ dBm}) - (128,1 \text{ dB}) - (1,38 \times 10^{-23} \text{ K/J}) - \\
 &\quad (-133 \text{ dB}) \\
 &= \mathbf{31 \text{ dB}}
 \end{aligned}$$

d. A22

$$\begin{aligned}
 \text{Noise BW} &= (((10) \times (\log(1,38 \times 10^{-23}))) \times (290) \times \\
 &\quad (2,5 \times 10^6)) / 1) + 7 \\
 &= -133 \text{ dB} \\
 (\text{C/N})_u &= (27 \text{ dBm}) - (128,1 \text{ dB}) - (1,38 \times 10^{-23} \text{ K/J}) - \\
 &\quad (-133 \text{ dB}) \\
 &= \mathbf{31 \text{ dB}}
 \end{aligned}$$

Down – Link (Forward):

a. A19

$$\begin{aligned}
 \text{Noise BW} &= (((10) \times (\log(1,38 \times 10^{-23}))) \times (290) \times \\
 &\quad (2,5 \times 10^6)) / 1) + 7 \\
 &= -133 \text{ dB} \\
 (\text{C/N})_d &= (16,92 \text{ dBm}) - (96,93 \text{ dB}) - (1,38 \times 10^{-23} \text{ K/J}) - (-133 \text{ dB}) \\
 &= \mathbf{53 \text{ dB}}
 \end{aligned}$$

b. A20

$$\begin{aligned}
 \text{Noise BW} &= (((10) \times (\log(1,38 \times 10^{-23}))) \times (290) \times \\
 &\quad (2,5 \times 10^6)) / 1) + 7 \\
 &= -133 \text{ dB} \\
 (\text{C/N})_d &= (8,34 \text{ dBm}) - (88,34 \text{ dB}) - (1,38 \times 10^{-23} \text{ K/J}) \\
 &\quad - (-133 \text{ dB}) \\
 &= \mathbf{53 \text{ dB}}
 \end{aligned}$$

c. A21

$$\begin{aligned}
 \text{Noise BW} &= (((10) \times (\log(1,38 \times 10^{-23}))) \times (290) \times \\
 &\quad (2,5 \times 10^6)) / 1) + 7 \\
 &= -133 \text{ dB} \\
 (\text{C/N})_d &= (9,54 \text{ dBm}) - (89,54 \text{ dB}) - (1,38 \times 10^{-23} \text{ K/J}) \\
 &\quad - (-133 \text{ dB}) \\
 &= \mathbf{53 \text{ dB}}
 \end{aligned}$$

d. A22

$$\begin{aligned}
 \text{Noise BW} &= (((10) \times (\log(1,38 \times 10^{-23}))) \times (290) \times \\
 &\quad (2,5 \times 10^6)) / 1) + 7 \\
 &= -133 \text{ dB} \\
 (\text{C/N})_d &= (8,59 \text{ dBm}) - (88,59 \text{ dB}) - (1,38 \times 10^{-23} \text{ K/J}) \\
 &\quad - (-133 \text{ dB}) \\
 &= \mathbf{53 \text{ dB}}
 \end{aligned}$$

Perhitungan (C/N) total pada masing – masing antena :

a. A19

$$\begin{aligned}
 (\text{C/N}) \text{ Total} &= ((53)^{-1} + (31)^{-1})^{-1} \\
 &= \mathbf{19,91 \text{ dB}}
 \end{aligned}$$

b. A20

$$\begin{aligned}
 (\text{C/N}) \text{ Total} &= ((53)^{-1} + (31)^{-1})^{-1} \\
 &= \mathbf{19,91 \text{ dB}}
 \end{aligned}$$

c. A21

$$\begin{aligned}
 (\text{C/N}) \text{ Total} &= ((53)^{-1} + (31)^{-1})^{-1} \\
 &= \mathbf{19,91 \text{ dB}}
 \end{aligned}$$

d. A22

$$\begin{aligned}
 (\text{C/N}) \text{ Total} &= ((53)^{-1} + (31)^{-1})^{-1} \\
 &= \mathbf{19,91 \text{ dB}}
 \end{aligned}$$

2. Sistem 2G

Perhitungan pada masing – masing antena :

Up-Link :

a. A19

$$\begin{aligned}
 \text{Noise BW} &= (((10) \times (\log(1.38 \times 10^{-23}))) \times (290) \times \\
 &\quad (10 \times 10^6)) / 1) + 7 \\
 &= -126,98 \text{ dB} \\
 (\text{C/N})_U &= (27 \text{ dBm}) - (137 \text{ dB}) - (1,38 \times 10^{-23} \text{ K/J}) - \\
 &\quad (-126,98 \text{ dB}) \\
 &= \mathbf{16,98 \text{ dB}}
 \end{aligned}$$

b. A20

$$\begin{aligned}
 \text{Noise BW} &= (((10) \times (\log(1,38 \times 10^{-23}))) \times (290) \times \\
 &\quad (10 \times 10^6)) / 1) + 7 \\
 &= -126,98 \text{ dB} \\
 (\text{C/N})_U &= (27 \text{ dBm}) - (137 \text{ dB}) - (1,38 \times 10^{-23} \text{ K/J}) - \\
 &\quad (-126,98 \text{ dB}) \\
 &= \mathbf{16,98 \text{ dB}}
 \end{aligned}$$

c. A21

$$\begin{aligned}
 \text{Noise BW} &= (((10) \times (\log(1.38 \times 10^{-23}))) \times (290) \times \\
 &\quad (10 \times 10^6)) / 1) + 7 \\
 &= -126,98 \text{ dB} \\
 (\text{C/N})_U &= (27 \text{ dBm}) - (137 \text{ dB}) - (1,38 \times 10^{-23} \text{ K/J}) - \\
 &\quad (-126,98 \text{ dB}) \\
 &= \mathbf{16,98 \text{ dB}}
 \end{aligned}$$

d. A22

$$\begin{aligned}
 \text{Noise BW} &= (((10) \times (\log(1,38 \times 10^{-23}))) \times (290) \times \\
 &\quad (10 \times 10^6)) / 1) + 7 \\
 &= -126,98 \text{ dB} \\
 (\text{C/N})_U &= (27 \text{ dBm}) - (137 \text{ dB}) - (1,38 \times 10^{-23} \text{ K/J}) - \\
 &\quad (-126,98 \text{ dB}) \\
 &= \mathbf{16,98 \text{ dB}}
 \end{aligned}$$

Down – Link :

a. A19

$$\begin{aligned}
 \text{Noise BW} &= (((10) \times (\log(1,38 \times 10^{-23}))) \times (290) \times \\
 &\quad (10 \times 10^6)) / 1) + 7 \\
 &= -126,98 \text{ dB} \\
 (\text{C/N})_d &= (18,36 \text{ dBm}) - (93,16 \text{ dB}) - (1,38 \times 10^{-23} \text{ K/J}) - (-126,98 \text{ dB}) \\
 &= \mathbf{52,18 \text{ dB}}
 \end{aligned}$$

b. A20

$$\begin{aligned}
 \text{Noise BW} &= (((10) \times (\log(1,38 \times 10^{-23}))) \times (290) \times \\
 &\quad (10 \times 10^6)) / 1) + 7 \\
 &= -126,98 \text{ dB} \\
 (\text{C/N})_d &= (9,34 \text{ dBm}) - (84,14 \text{ dB}) - (1,38 \times 10^{-23} \text{ K/J}) \\
 &\quad - (-126,98 \text{ dB}) \\
 &= \mathbf{52,18 \text{ dB}}
 \end{aligned}$$

c. A21

$$\begin{aligned}
 \text{Noise BW} &= (((10) \times (\log(1.38 \times 10^{-23}))) \times (290) \times \\
 &\quad (10 \times 10^6)) / 1) + 7 \\
 &= -126,98 \text{ dB} \\
 (\text{C/N})_d &= (10,67 \text{ dBm}) - (85,47 \text{ dB}) - (1,38 \times 10^{-23} \text{ K/J}) - (-126,98 \text{ dB}) \\
 &= \mathbf{52,18 \text{ dB}}
 \end{aligned}$$

d. A22

$$\begin{aligned}
 \text{Noise BW} &= (((10) \times (\log(1,38 \times 10^{-23}))) \times (290) \times \\
 &\quad (10 \times 10^6)) / 1) + 7 \\
 &= -126,98 \text{ dB} \\
 (\text{C/N})_d &= (9,63 \text{ dBm}) - (84,43 \text{ dB}) - (1,38 \times 10^{-23} \text{ K/J}) - (-126,98 \text{ dB}) \\
 &= \mathbf{52,18 \text{ dB}}
 \end{aligned}$$

Perhitungan (C/N) total pada masing – masing antena :

a. A19

$$\begin{aligned} (\text{C/N}) \text{ Total} &= ((52,18)^{-1} + (16,98)^{-1})^{-1} \\ &= \mathbf{12,18 \text{ dB}} \end{aligned}$$

b. A20

$$\begin{aligned} (\text{C/N}) \text{ Total} &= ((52,18)^{-1} + (16,98)^{-1})^{-1} \\ &= \mathbf{12,18 \text{ dB}} \end{aligned}$$

c. A21

$$\begin{aligned} (\text{C/N}) \text{ Total} &= ((52,18)^{-1} + (16,98)^{-1})^{-1} \\ &= \mathbf{12,18 \text{ dB}} \end{aligned}$$

d. A22

$$\begin{aligned} (\text{C/N}) \text{ Total} &= ((52,18)^{-1} + (16,98)^{-1})^{-1} \\ &= \mathbf{12,18 \text{ dB}} \end{aligned}$$

3. Sistem 3G

Perhitungan pada masing – masing antena :

Up - Link

a. A19

$$\begin{aligned} \text{Noise BW} &= (((10) \times (\log(1,38 \times 10^{-23}))) \times (290) \times \\ &\quad (5 \times 10^6)) / 1) + 7 \\ &= -129,99 \text{ dB} \\ (\text{C/N})_u &= (18 \text{ dBm}) - (141,5 \text{ dB}) - (1,38 \times 10^{-23} \text{ K/J}) - \\ &\quad (-129,99 \text{ dB}) \\ &= \mathbf{6,49 \text{ dB}} \end{aligned}$$

b. A20

$$\begin{aligned} \text{Noise BW} &= (((10) \times (\log(1,38 \times 10^{-23}))) \times (290) \times \\ &\quad (5 \times 10^6)) / 1) + 7 \\ &= -129,99 \text{ dB} \\ (\text{C/N})_u &= (18 \text{ dBm}) - (141,5 \text{ dB}) - (1,38 \times 10^{-23} \text{ K/J}) - \\ &\quad (-129,99 \text{ dB}) \\ &= \mathbf{6,49 \text{ dB}} \end{aligned}$$

c. A21

$$\begin{aligned}
 \text{Noise BW} &= (((10) \times (\log(1,38 \times 10^{-23}))) \times (290) \times \\
 &\quad (5 \times 10^6)) / 1) + 7 \\
 &= -129,99 \text{ dB} \\
 (\text{C/N})_u &= (18 \text{ dBm}) - (141,5 \text{ dB}) - (1,38 \times 10^{-23} \text{ K/J}) - \\
 &\quad (-129,99 \text{ dB}) \\
 &= \mathbf{6,49 \text{ dB}}
 \end{aligned}$$

d. A22

$$\begin{aligned}
 \text{Noise BW} &= (((10) \times (\log(1,38 \times 10^{-23}))) \times (290) \times \\
 &\quad (5 \times 10^6)) / 1) + 7 \\
 &= -129,99 \text{ dB} \\
 (\text{C/N})_u &= (18 \text{ dBm}) - (141,5 \text{ dB}) - (1,38 \times 10^{-23} \text{ K/J}) - \\
 &\quad (-129,99 \text{ dB}) \\
 &= \mathbf{6,49 \text{ dB}}
 \end{aligned}$$

Down – Link :

a. A19

$$\begin{aligned}
 \text{Noise BW} &= (((10) \times (\log(1,38 \times 10^{-23}))) \times (290) \times \\
 &\quad (5 \times 10^6)) / 1) + 7 \\
 &= -129,99 \text{ dB} \\
 (\text{C/N})_d &= (11,79 \text{ dBm}) - (90,94 \text{ dB}) - (1,38 \times 10^{-23} \text{ K/J}) - \\
 &\quad (-129,99 \text{ dB}) \\
 &= \mathbf{51,29 \text{ dB}}
 \end{aligned}$$

b. A20

$$\begin{aligned}
 \text{Noise BW} &= (((10) \times (\log(1,38 \times 10^{-23}))) \times (290) \times \\
 &\quad (5 \times 10^6)) / 1) + 7 \\
 &= -129,99 \text{ dB} \\
 (\text{C/N})_d &= (2,34 \text{ dBm}) - (81,04 \text{ dB}) - (1,38 \times 10^{-23} \text{ K/J}) - \\
 &\quad (-129,99 \text{ dB})
 \end{aligned}$$

$$= \mathbf{51,29 \text{ dB}}$$

c. A21

$$\begin{aligned}\text{Noise BW} &= (((10) \times (\log(1,38 \times 10^{-23}))) \times (290) \times \\ &\quad (5 \times 10^6)) / 1) + 7 \\ &= -129,99 \text{ dB} \\ (\text{C/N})_d &= (3,81 \text{ dBm}) - (82,51 \text{ dB}) - (1,38 \times 10^{-23} \text{ K/J}) \\ &\quad - (-129,99 \text{ dB}) \\ &= \mathbf{51,29 \text{ dB}}\end{aligned}$$

d. A22

$$\begin{aligned}\text{Noise BW} &= (((10) \times (\log(1,38 \times 10^{-23}))) \times (290) \times \\ &\quad (5 \times 10^6)) / 1) + 7 \\ &= -129,99 \text{ dB} \\ (\text{C/N})_d &= (2,67 \text{ dBm}) - (81,37 \text{ dB}) - (1,38 \times 10^{-23} \text{ K/J}) \\ &\quad - (-129,99 \text{ dB}) \\ &= \mathbf{51,29 \text{ dB}}\end{aligned}$$

Perhitungan (C/N) total pada masing – masing antena :

a. A19

$$\begin{aligned}(\text{C/N}) \text{ Total} &= ((51,29)^{-1} + (6,49)^{-1})^{-1} \\ &= \mathbf{5,76 \text{ dB}}\end{aligned}$$

b. A20

$$\begin{aligned}(\text{C/N}) \text{ Total} &= ((51,29)^{-1} + (6,49)^{-1})^{-1} \\ &= \mathbf{5,76 \text{ dB}}\end{aligned}$$

c. A21

$$\begin{aligned}(\text{C/N}) \text{ Total} &= ((51,29)^{-1} + (6,49)^{-1})^{-1} \\ &= \mathbf{5,76 \text{ dB}}\end{aligned}$$

d. A22

$$\begin{aligned}(\text{C/N}) \text{ Total} &= ((51,29)^{-1} + (6,49)^{-1})^{-1} \\ &= \mathbf{5,76 \text{ dB}}\end{aligned}$$

3.8 Hasil perhitungan Nilai C/N pada Tiga Sistem

Berikut adalah hasil perbandingan nilai C/N pada masing – masing sistem dalam perangkat *multi network*, ditunjukan pada Tabel 3.6.

Tabel 3.6 Perbandingan Nilai C/N

Frekuensi	800				1800				2100			
	Antenna	19	20	21	22	19	20	21	22	19	20	21
C/N DL	53.00	53.00	53.00	53.00	52.18	52.18	52.18	52.18	51.29	51.29	51.29	51.29
C/N UL	31.90	31.90	31.90	31.90	16.98	16.98	16.98	16.98	6.49	6.49	6.49	6.49
C/N Total	19.91	19.91	19.91	19.91	12.81	12.81	12.81	12.81	5.76	5.76	5.76	5.76

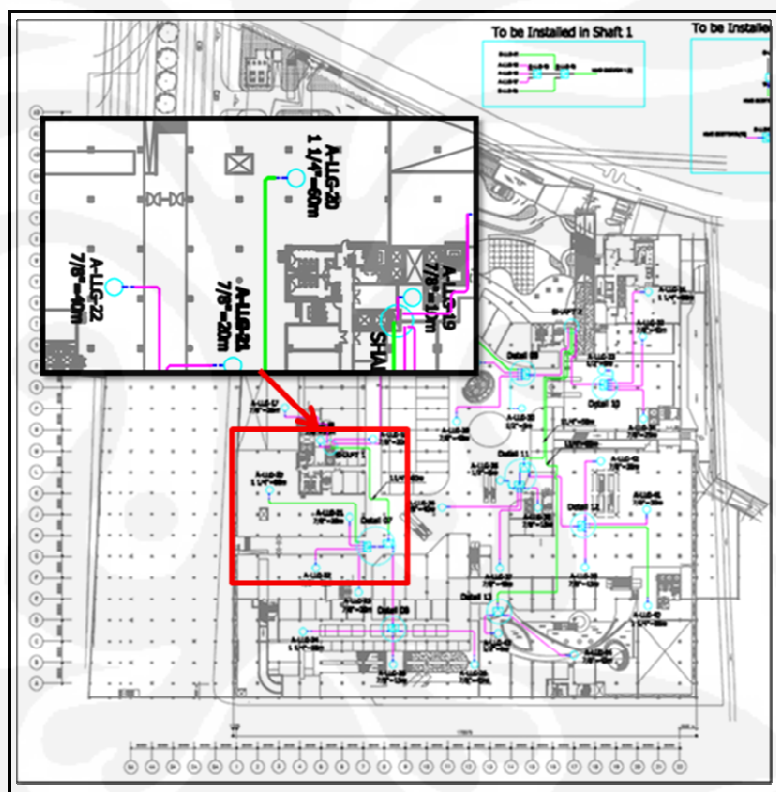
Hasil tersebut menunjukan ada perbedaan nilai dari masing – masing sistem yang membuktikan nilai tersebut, yaitu semakin besarnya nilai C/N maka akan semakin kuat sinyal yang di terima pada *receiver*, jika di buat perbandingan dari hasil tersebut CDMA > 2G > 3G.

BAB IV

UJI COBA DAN ANALISIS DATA

4.1 Hasil Perhitungan EIRP

Pada hasil data yang di dapat pada salah satu lantai yang menjadi bahan analisa lapangan, yaitu lantai *Lower Ground* (LG) pada keempat *sample* antena (A22, A21, A20, A19), berikut adalah Gambar 4.1 sketsa lantai *lower ground*.



Gambar 4.1 Sketsa Lantai LG

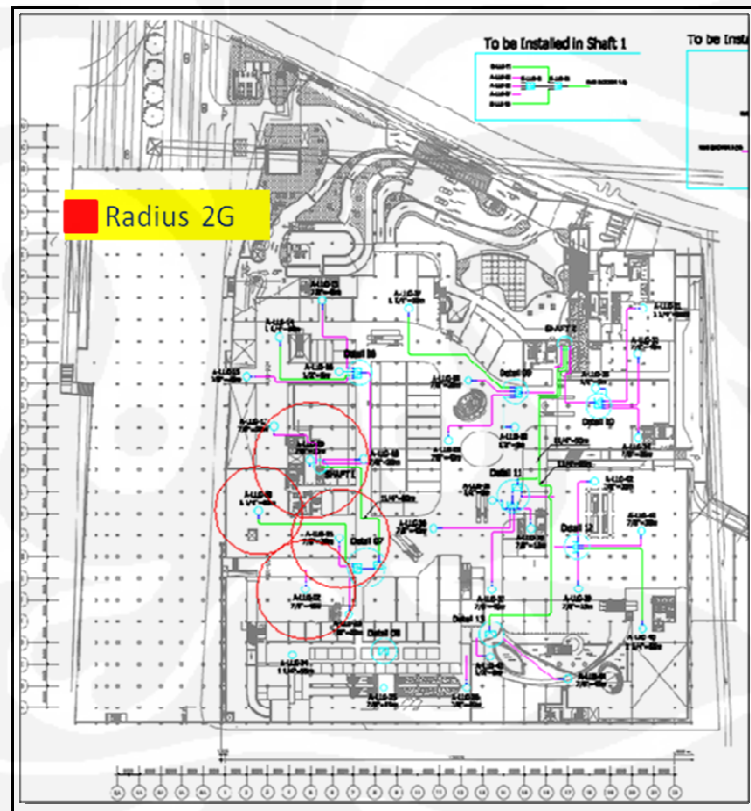
4.1.1 2G (1800 MHz)

Berikut adalah hasil perhitungan *link budget* pada sistem 2G, ditunjukkan pada Tabel 4.1.

Tabel 4.1 *Link Budget 2G*

Parameter	1800			
Antena	19	20	21	22
Total Loss (dB)	-23.64	-32.66	-31.33	-32.37
EIRP Transmitter (dBm)	18.36	9.34	10.67	9.63
EIRP BTS (dBm)	27	27	27	27
L _{max} Downlink (dB)	93.16	84.14	85.47	84.43
L _{max} Uplink (dB)	137	137	137	137
Radius Cell(m)	21.09058	16.8319	18.24897	17.13236

Hasil tersebut di simulasikan pada suatu *software Auto CAD* 2007 dan sudah disamakan skalanya, berikut ditunjukkan pada Gambar 4.2.

Gambar 4.2 *Coverage Area 2G*

Radius sel di atas tersebut mempunyai batas level daya yang di terima, yaitu -85 dBm yang sudah di sesuaikan dengan kebutuhan masing masing operator.

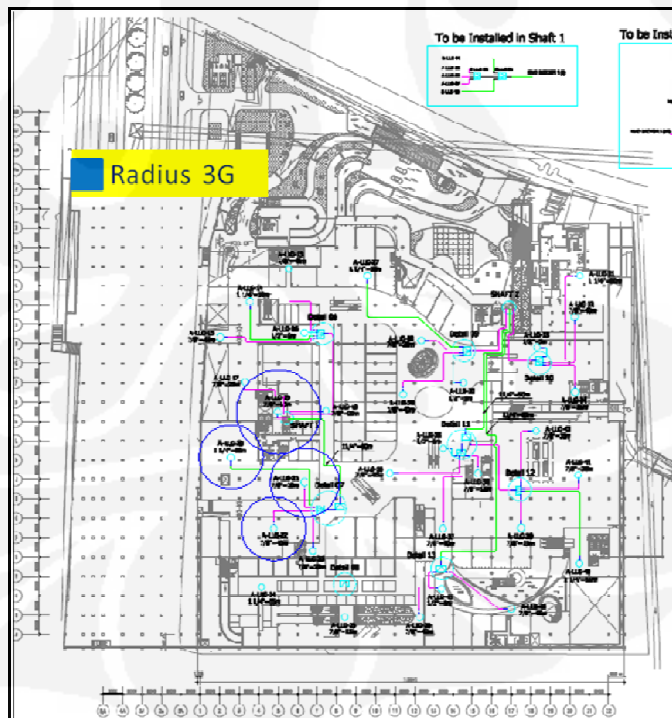
4.1.2 3G (2100 MHz)

Berikut adalah hasil perhitungan *link budget* pada 3G sistem, ditunjukkan pada Tabel 4.2.

Tabel 4.2 Link Budget 3G

Parameter	2100			
	19	20	21	22
Antena				
Total Loss (dB)	-24.21	-33.66	-32.19	-33.33
EIRP Transmitter (dBm)	11.79	2.34	3.81	2.67
EIRP BTS (dBm)	18	18	18	18
$L_{\max} \text{ Downlink}(dB)$	90.49	81.04	82.51	81.37
$L_{\max} \text{ Uplink}(dB)$	141.5	141.5	141.5	141.5
Radius Cell(m)	16.93004	12.86309	14.06126	13.12591

Hasil tersebut di simulasikan pada suatu *software Auto CAD* 2007 dan sudah disamakan skalanya, berikut ditunjukkan pada Gambar 4.3.



Gambar 4.3 Coverage Area 3G

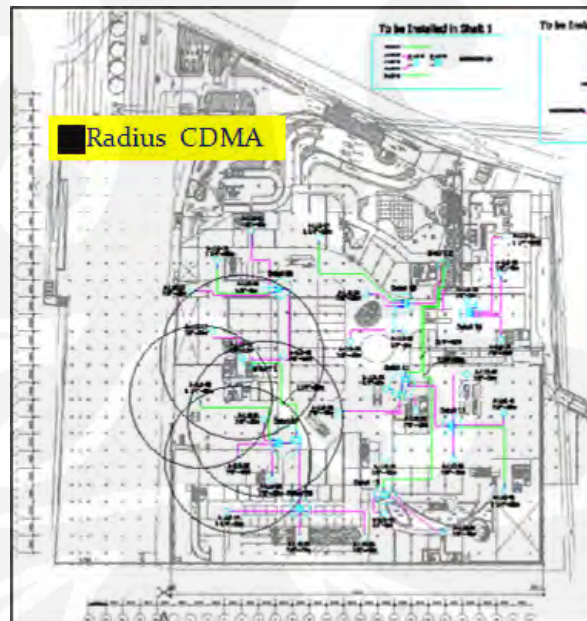
4.1.3 CDMA (800 MHz)

Berikut adalah hasil perhitungan *link budget* pada CDMA sistem, ditunjukkan Tabel 4.3.

Tabel 4.3 Link Budget CDMA

Parameter	800			
	19	20	21	22
Antena				
Total Loss (dB)	-23.07	-31.66	-30.46	-31.41
EIRP Transmitter(dBm)	16.93	8.34	9.54	8.59
EIRP BTS (dBm)	27	27	27	27
L _{max} Download (dB)	96.93	88.34	89.54	88.59
L _{max} Uplink(dB)	128.1	128.1	128.1	128.1
Radius Cell(m)	38.1536618	33.26536	35.77041	33.77353

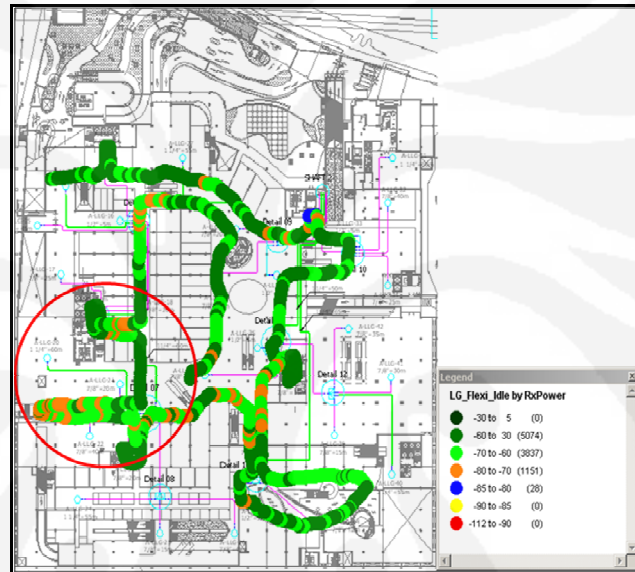
Hasil tersebut di simulasikan pada suatu *software Auto CAD* 2007 dan sudah disamakan skalanya, berikut ditunjukkan pada Gambar 4.4.



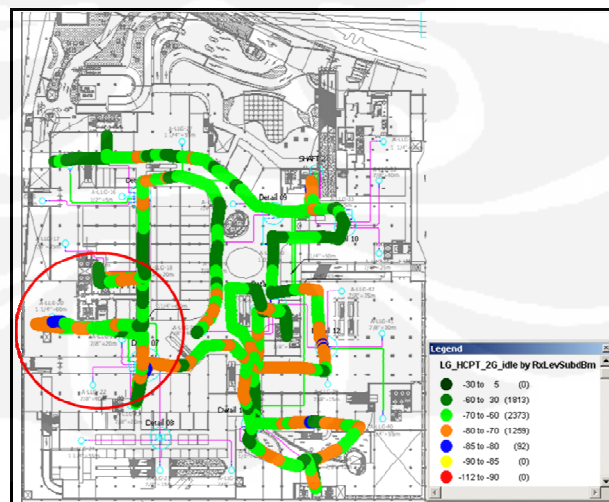
Gambar 4.4 Coverage Area CDMA

4.2 Hasil Data Walktest

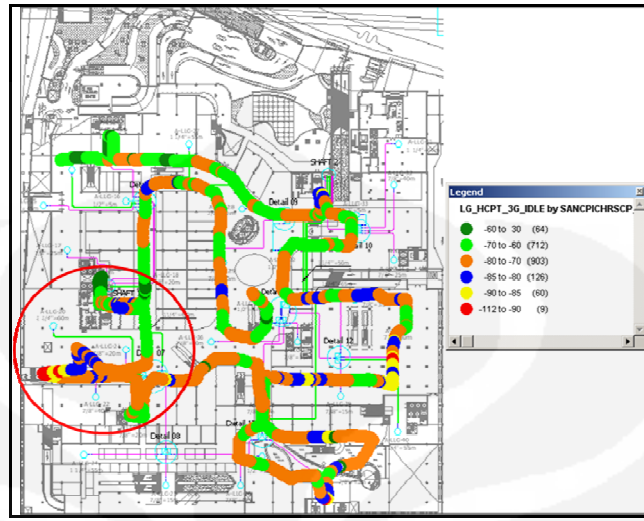
Hasil data *walktest* dengan satuan *dBm* yang ditunjukkan pada *legend* (warna hijau tua, hijau muda, kuning, *orange*, biru, merah), pada lokasi atau tempat yang sudah ditentukan, yaitu lantai *lower ground* (LG), dengan memfokuskan pada ke empat antena yang sudah terpasang yaitu A22, A21, A20 dan A19, berikut Gambar 4.5 *waltest* data CDMA, Gambar 4.6 *waltest* data 2G, Gambar 4.7 *waltest* data 3G yang tunjukkan hasil data *waltest* pada lingkaran merah.



Gambar 4.5 *waltest* data CDMA



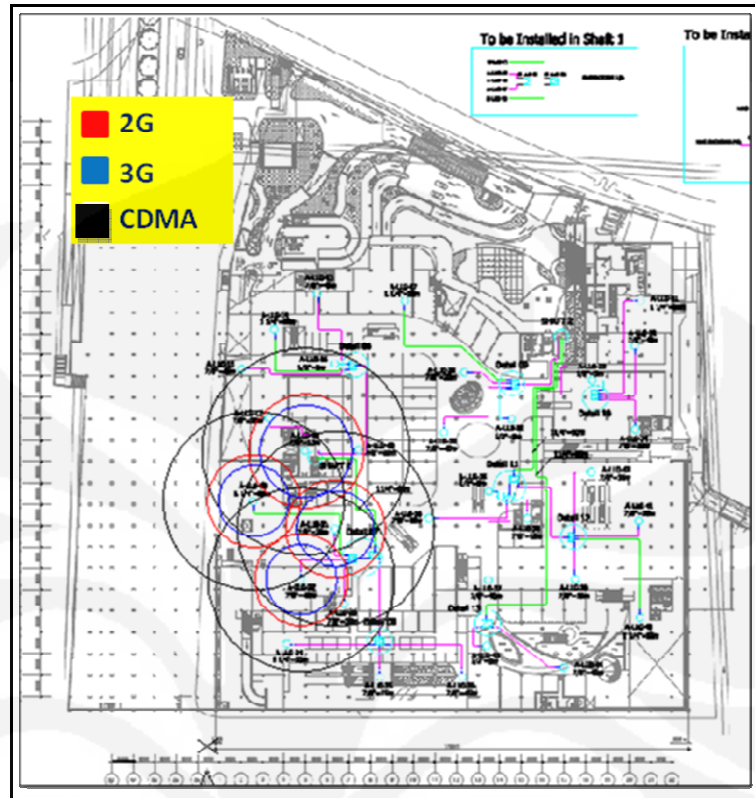
Gambar 4.6 *waltest* data 2G



Gambar 4.7 walktest data 3G

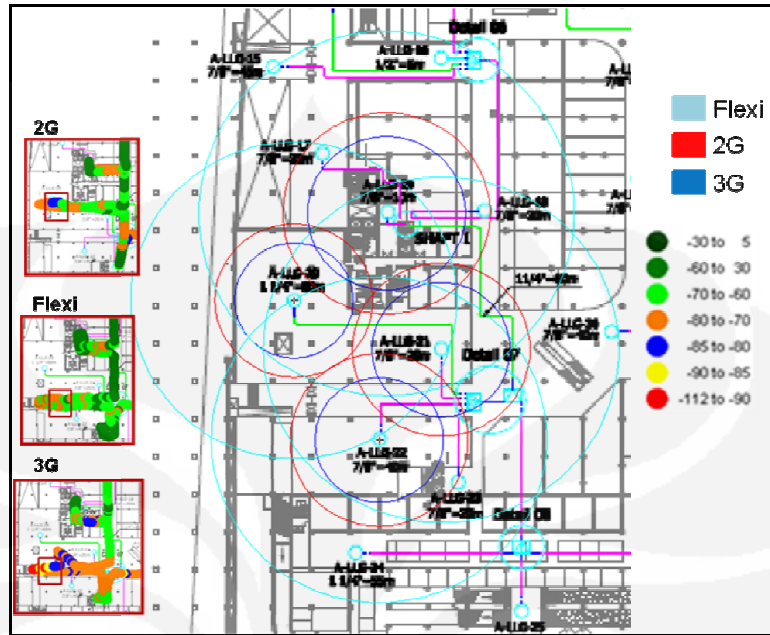
4.3 Perbandingan Data Perhitungan Dan Data Walktest

Data perhitungan yang merupakan sistem perencanaan atau *link budget*, mempunyai perbedaan EIRP yang sangat signifikan pada ketiga sistem tersebut yang mempengaruhi dalam perhitungan *coverage area* atau radius sel dengan batas cakupan level -85 dBm, yaitu CDMA >2G>3G , berikut Gambar 4.8 yang tunjukkan perbedaan coverage pada ketiga sistem tersebut.



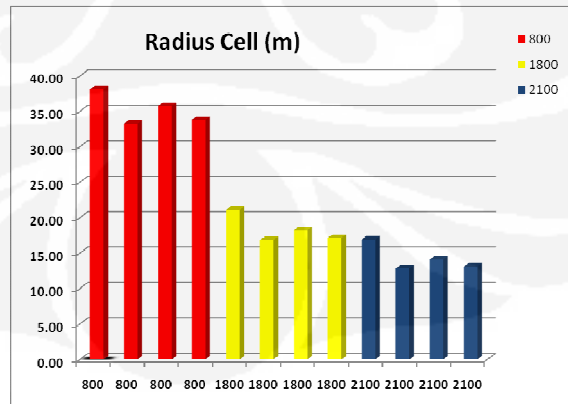
Gambar 4.8 Perbandingan Radius Cell

Pada data tersebut menjadi satu acuan dari data walktest yang akan diambil, ketiga sistem tersebut secara perencanaan sistem atau dari perhitungan *link budget* sudah di ketahui bahwa perbedaan radius sel akan sangat mempengaruhi kualitas sinyal yang di terima, yang menjadi syarat penting pada suatu sistem jaringan telekomunikasi yaitu $RLS \geq Rth$ yang sudah di jelaskan pada bab tiga, yaitu harus memenuhi KPI -85 dBm, sinyal yang di terima harus lebih besar di bandingkan nilai sensitivitas pada suatu perangkat penerima, Gambar 4.9 berikut menunjukkan perbandingan data walktest ketiga sistem tersebut.



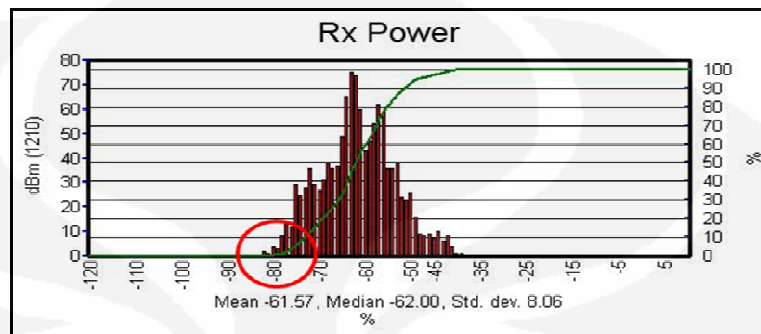
Gambar 4.9 Perbandingan Data Walktest

Dari hasil perbandingan data walktest diatas, untuk sistem 2G data tersebut masih mendapatkan batasan level -85 dBm pada *coverage* antena A20, CDMA data level juga masih pada batasan level -80 dBm, tapi yang terjadi pada sistem 3G data tersebut melebihi batas minimum level yaitu *Rx level* > -85 dBm, antara nilai -90 dBm s/d -112 dBm, data 3G tersebut menjadi satu pembuktian perhitungan *coverage area* atau radius sel dengan cakupan batas level -85 dBm, berikut Gambar 4.10 Grafik perbandingan radius sel.

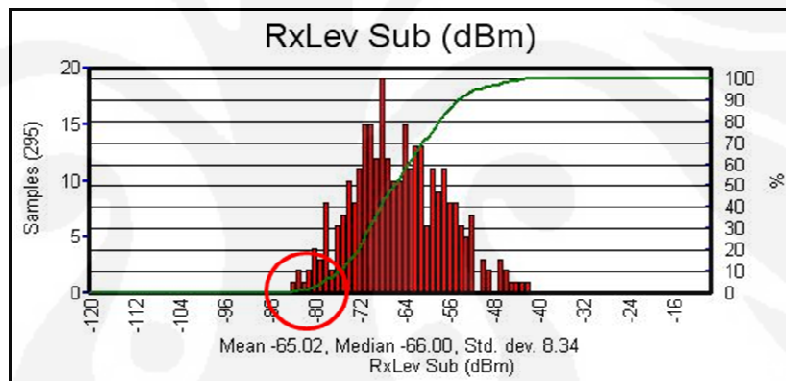


Gambar 4.10 Grafik Perbandingan Radius Sel

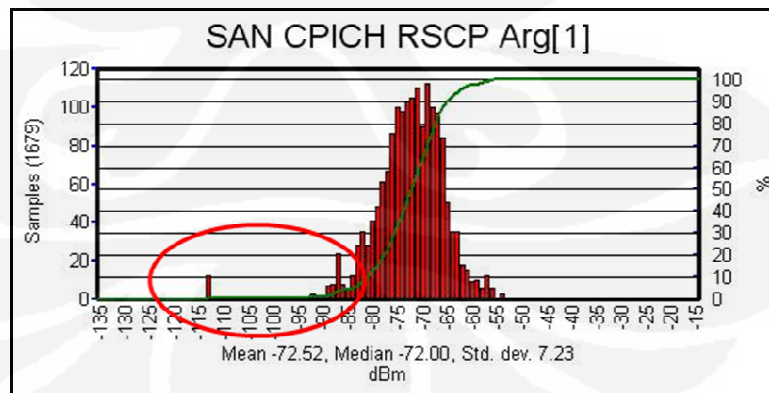
Gambar 4.11, Gambar 4.12, Gambar 4.13 di bawah tersebut adalah perbandingan grafik yang dihasilkan pada hasil *walktest*.



Gambar 4.11 Grafik Rx level CDMA



Gambar 4.12 Grafik Rx Level 2G



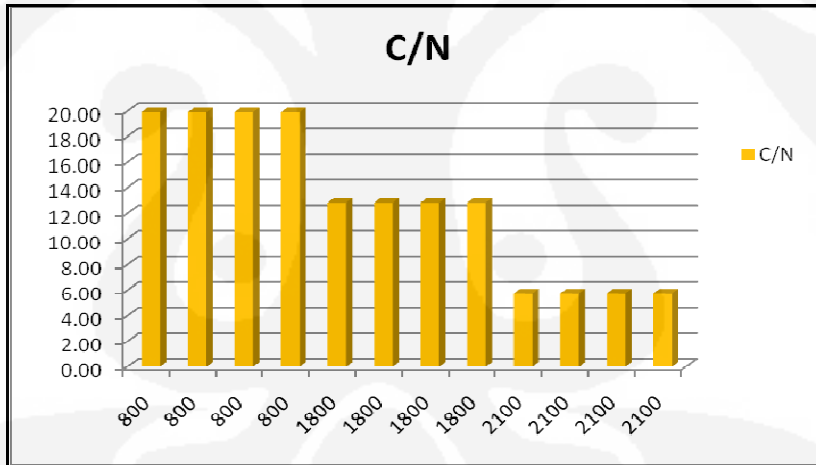
Gambar 4.13 Grafik Rx Level 3G

4.4 Analisis Perbandingan Nilai *Carrier to noise ratio* (C/N)

Suatu perbandingan level data yang sangat signifikan, ini menjadikan acuan dalam perhitungan signal yang di terima pada sisi receiver, yaitu perbandingan *carrier to noise* (C/N) berikut Tabel 4.4 menunjukan perbandingan nilai pada ketiga sistem tersebut 2G, 3G, dan CDMA Gambar 4.14 perbandingan garfik (C/N).

Tabel 4.4 Perbandingan Nilai C/N

Frekuensi	800				1800				2100			
	Antenna	19	20	21	22	19	20	21	22	19	20	21
C/N DL (dB)	53	53	53	53	52.18	52.18	52.18	52.18	51.29	51.29	51.29	51.29
C/N UL (dB)	31.9	31.9	31.9	31.9	16.98	16.98	16.98	16.98	6.49	6.49	6.49	6.49
C/N Total (dB)	19.91	19.91	19.91	19.91	12.81	12.81	12.81	12.81	5.76	5.76	5.76	5.76



Gambar 4.14 Grafik perbandingan nilai C/N

Perbandingan tersebut menunjukan level sinyal *carrier to noise* (C/N), dari hasil tersebut sekali lagi sangat berpengaruh sekali pada masing – masing sistem tersebut, semakin besar maka akan semakin bagus sinyal yang di terima, data tersebut menunjukan hasil yang kurang bagus pada sistem 3G, dan 2G, sekali lagi keuntungan untuk sistem CDMA.

BAB V

KESIMPULAN

1. Pada ketiga sistem (CDMA, 2G, UMTS) tersebut sudah terpenuhi, $RSL > R_{th}$ dengan KPI minimum, yaitu -85 dBm dalam pemakaian perangkat bersama.
2. Pada area cakupan dengan batasan levelnya -85 dBm, hasil perbandingan radius sel tersebut, menjadi faktor yang menguntungkan pada sistem CDMA, karena 2 kali lebih luas dibandingkan sistem GSM, di buktikan pada antena A19 dengan radius 38,15 m dalam pemakaian perangkat bersama.
3. Pada sistem 3G, area cakupan menjadi faktor yang kurang menguntungkan, karena pada sistem tersebut daerah cakupannya lebih kecil dari pada kedua sistem tersebut 2G dan CDMA dalam pemakaian perangkat bersama.
4. Dalam perhitungan teori nilai C/N pada sistem CDMA lebih baik dibanding 2G dan 3G.
5. Pada pemakaian perangkat bersama, bukan solusi yang baik terbukti banyak faktor yang kurang menguntungkan pada setiap sistem.
6. Solusi dalam membangun sistem jaringan 2G, 3G, CDMA yaitu setiap sistem di haruskan mempunyai perangkat jaringan masing – masing.

DAFTAR REFRENSI

- [1] Arsitektur GSM. dikutip 12 september 2009 dari
http://www.ittelkom.ac.id/library/index.php?option=com_content&view=article&id=637:global-system-for-mobile-communication-gsm&catid=17:sistem-komunikasi-bergerak&Itemid=15
- [2] Arsitektur CDMA. dikutip 12 september 2009 dari
http://www.ittelkom.ac.id/library/index.php?view=article&catid=17%3Asistem-komunikasi-bergerak&id=36%3Acdma&option=com_content&Itemid=15
- [3] Arsitektur UMTS. dikutip 12 september 2009 dari
<http://ard1e.blogspot.com/>
- [4] Ericsson. 2008, “WIRELESS NETWORKS FOR IN-BUILDING ENVIRONMENTS”, Ericsson.
- [5] Wibowo, Ariefianto, Tody. 2005, “PLANNING W-CDMA INDOOR COVERAGE SYSTEM CASE STUDY MAIN TOWER JAYABAYA UNIVERSITY”.
- [6] Perhitungan *Link Budget*. dikutip 3 Oktober 2009 dari
http://www.ittelkom.ac.id/library/index.php?view=article&catid=11%3Asistem-komunikasi&id=67%3Aperhitungan-link-budget&option=com_content&Itemid=15
- [7] Pfeil, Uli.2007,” Annex B Volume 1 (ii) Section 1 Appendix 1 – Inbuilding”, Hutchison CP.
- [8] Hudoyo, Rudi.2007,”HCPT Indoor Site Acceptance Procedure”, Hutchison CP.
- [9] Carrier to Noise Power. dikutip 30 Oktober 2009 dari
<http://sss-mag.com/ebn0.html>

DAFTAR PUSTAKA

- [1] Wibisono, Gunawan, Usman, Kurniawan, Uke, Hantoro, Dwi, Gunadi. 2007. “*Konsep Teknologi Seluler*”, Bandung, Informatika.
- [2] Usman, Kurniawan, Uke. 2008, “*Pengantar Ilmu Komunikasi*”, Bandung, Informatika.

LAMPIRAN

Hutchison Telecom Indonesia	TECHNICAL SPECIFICATION	INFRASIA INVESTAMA <small>asias' strategic supplier</small>
--------------------------------	----------------------------	--

Omni Antenna

PACIFIC WAVE

Product Specification
PW-IOA-820/2500
Page 1/2

In-Building Omni Antenna (Code: PW-IOA-820/2500)

ELECTRICAL SPECIFICATIONS		MECHANICAL SPECIFICATIONS	
Frequeny range:	820-960/1710-2500 MHz	Height:	61 mm
Bandwidth:	160/790 MHz	Diameter:	295 mm
Power:	100 W	Weight (net):	8.4 kg
VSWR:	$\leq 2.0:1 \pm 1.5:1$ within the 800-950 MHz band	Mounting element:	Base plate
Impedance:	50 Ω	MATERIAL:	Austenitic Steel
Gain*:		Reflector material:	ABS
820-960 MHz	0.4dBi ± 0.4 dB	Reflector colour:	White
1710-2500 MHz	2.6dBi ± 0.6 dB	Mounting hardware:	Includes
Polarization:	Vertical	ACM-S-S-DIDW	
Hot temperature:	-60°	Lightning protection:	Ground ground
Cold temperature:	-40°		
Connector type:	N		
Convector position:	Top		

*Typical value.

Radiation patterns

Received

Transmit

SINGAPORE - INDONESIA - MALAYSIA - CHINA - PHILIPPINES - TAIWAN - THAILAND
www.pacificwave-wholesaler.com

BENDAYAN CITY TOWER

	Hutchison Telecom Indonesia	TECHNICAL SPECIFICATION	
---	--------------------------------	----------------------------	--

Directional Antenna

PACIFIC WAVE

Product Specification
PW-P-800/2500
Page 1/1

In-Building Panel Antenna (Code: PW-P-800/2500)

FEATURES

- Full 800 to 2500 MHz Operation
- Input Power 100 Watts Max
- Low Cost – Small & Light Weight
- Modular Design Easy to Install
- N female Connectors

Specifically designed for In-building passive distribution of the all cellular communications signal, covering the full 800 to 2500 MHz bandwidth this antenna is also capable of operation in the WLAN band. The antenna is constructed from lightweight materials suitable for wall mounting.

Specifications

Model Number:	PW-P-800/2500
Frequency Range:	800-960/Mhz, 1710-2500 MHz
Gain:	6dBi at 800-960 Mhz 9dBi at 1710-2500 Mhz
VSWR:	<1.4 : 1 (Typical 1.3)
Impedance:	50 Ohm
Polarisation:	Vertical
Horizontal 3dB BW:	75 degrees
Vertical 3dB BW:	50 degrees
Max Input Power:	100 Watts
Colour:	Natural White
Weight:	900 grams Max
Connection Type:	N female with Pig Tail
Dimensions:	220mm x 173mm x 44mm



VERTICAL



HORIZONTAL

SINGAPORE - INDONESIA - MALAYSIA - CHINA - PHILIPPINES - TAIWAN - THAILAND
www.pacificwave.com

SENAYAN CITY TOWER



 Hutchison Telecom Indonesia	TECHNICAL SPECIFICATION	 INFRASIA INVESTAMA
--	----------------------------	---

Splitter

Multi-band Low-loss Power Splitters 800-2500 

For indoor use.

2-way-Splitter 800-2500
3-way-Splitter 800-2500
4-way-Splitter 800-2500

Type No.	860 10017	860 10018	860 10019
Frequency range	800 - 2500 MHz		
For connecting - unshielded	2	3	4
Insertion loss	≤ 0.05 dB		
Impedance	50 Ω		
VSWR	≤ 1.25	≤ 1.25	≤ 1.3
Intermodulation loss (2 x 40 dBm carrier)	≥ -150 dBc		
Max. power	100 W (at 50 °C ambient temperature)		
Connector	N female		
Weight	approx. 0.6 kg		
Dialle cross-section	25 x 25 mm		
Packing size	242 x 112 x 95 mm		
Box size	294 x 62 x 41 mm		
Material	Housing: Aluminum Interconnection: Brass		
DC capability	DC connection between all terminations (suitable for vehicle power supply systems)		



*These new splitters
replace the Type No.:
K 63 22 62 1
K 63 22 63 1
K 63 22 64 1*

SENAIAN CITY TOWER

Hutchison Telecom Indonesia	TECHNICAL SPECIFICATION	INFRASIA INVESTAMA
--------------------------------	----------------------------	--------------------

Tapper

Multi-band Low-loss Power Tappers 860-2500 **KATHREIN**
Antennen - Electronic

For indoor use.

2-way-Tapper 860-2500 7.0 (1.0dB)
2-way-Tapper 860-2500 10.4(0.4dB)
2-way-Tapper 860-2500 15.1(0.1dB)

Type No.	860 10020	860 10021	860 10022
Frequency range	800 - 2500 MHz		
Tap Loss	-10 dB -10 dB	-0.4 dB -10.4 dB	-0.1 dB -15.1 dB
For connecting ... channels	2		
Inversion loss	< 0.05 dB		
Impedance	50 Ω		
VSWR	< 1.5		
Insertion loss (L3) (2 x 43 dBm carrier)	< 150 dB		
Max. power	100 W (at 50 °C ambient temperature)		
Connectors	N female		
Weight	approx. 0.5 kg		
Profile cross-section	25 x 25 mm		
Packing size	125 x 95 x 111 mm		
Mat. size	244 / 64 / 25 mm		
Material	Housing: Aluminum Wire conductor: Brass		
DC-capacity	DC voltage max. only between input and pin P1, P2 is coupled capacitive.		

*These new tappers
replace the Type No.:
K 63 23 61 01
K 63 23 61 51*

BENDAYAN CITY TOWER



Hutchison Telecom Indonesia	TECHNICAL SPECIFICATION	INFRASIA INVESTAMA																																																																																																																																																																																									
Coaxial Cable Leony 7/8"																																																																																																																																																																																											
																																																																																																																																																																																											
Cable type number: Standard Application cable: 845466-821-126 Flame retardant, non corrosive (IEC): 845466-821-126 Flame retardant, non corrosive (IEC): 845466-821-126																																																																																																																																																																																											
Mechanical characteristics	Electrical characteristics																																																																																																																																																																																										
Outer conductor: Material: Aluminum Outer diameter: 25.0 mm Outer insulation thickness: 0.005 mm Insulation outer diameter: 27.0 mm FRL: 1.02 FRL: 1.02 Data weight (G/100 m): 15.61 g/100 m Tensile strength: tensile strength, static: 120 mm tensile strength, dynamic: 240 mm number of twist: minimum 2500/t Recommended bend radius: recommended frequency range, insulation: -40 °C to +60 °C recommended frequency range, jacket: -30 °C to +60 °C	insulation: insulation thickness: 0.015 mm Dielectric constant: dielectric constant, relative: 2.00 dielectric loss factor: dielectric loss factor, relative: 0.0007 Dielectric peak loss: 0.002 Dielectric dissipation factor: dielectric dissipation factor, relative: 0.0001 Dielectric loss factor: dielectric loss factor, relative: 0.0007 Dielectric loss factor: dielectric loss factor, relative: 0.0007 Dielectric loss factor: dielectric loss factor, relative: 0.0007																																																																																																																																																																																										
Attenuation values and power ratings <small>Attenuation values typical at 20 °C ambient temperature. Power rating at 40 °C ambient temperature.</small> <table border="1" style="width: 100%; border-collapse: collapse;"> <thead> <tr> <th>Frequency (GHz)</th> <th>Attenuation (dB)</th> <th>Power (Watt)</th> <th>Attenuation (dB)</th> <th>Power (Watt)</th> <th>Attenuation (dB)</th> <th>Power (Watt)</th> </tr> <tr> <th>(MHz)</th> <th>(GHz)</th> <th>(Watt)</th> <th>(MHz)</th> <th>(GHz)</th> <th>(MHz)</th> <th>(GHz)</th> </tr> </thead> <tbody> <tr> <td>50 MHz</td> <td>3.0</td> <td>1000</td> <td>49 MHz</td> <td>2.6</td> <td>4.0</td> <td>500 MHz</td> <td>3.4</td> <td>17.9</td> </tr> <tr> <td>100</td> <td>2.8</td> <td>950</td> <td>95 MHz</td> <td>2.7</td> <td>3.0</td> <td>800 MHz</td> <td>3.5</td> <td>12.0</td> </tr> <tr> <td>150</td> <td>3.1</td> <td>830</td> <td>140 MHz</td> <td>2.9</td> <td>3.2</td> <td>1600 MHz</td> <td>3.7</td> <td>1.04</td> </tr> <tr> <td>200</td> <td>3.3</td> <td>690</td> <td>190 MHz</td> <td>2.8</td> <td>3.6</td> <td>2500 MHz</td> <td>3.9</td> <td>1.03</td> </tr> <tr> <td>300</td> <td>4.3</td> <td>350</td> <td>300 MHz</td> <td>3.6</td> <td>4.0</td> <td>3500 MHz</td> <td>4.9</td> <td>1.00</td> </tr> <tr> <td>500</td> <td>6.6</td> <td>21.0</td> <td>500 MHz</td> <td>5.2</td> <td>5.9</td> <td>5000 MHz</td> <td>6.0</td> <td>1.00</td> </tr> <tr> <td>1000</td> <td>11.1</td> <td>1.00</td> <td>800 MHz</td> <td>9.5</td> <td>10.1</td> <td>10000 MHz</td> <td>9.8</td> <td>1.00</td> </tr> <tr> <td>2000</td> <td>22.1</td> <td>0.50</td> <td>2000 MHz</td> <td>16.7</td> <td>17.7</td> <td>20000 MHz</td> <td>14.7</td> <td>1.00</td> </tr> <tr> <td>3000</td> <td>33.0</td> <td>0.30</td> <td>3000 MHz</td> <td>26.0</td> <td>28.1</td> <td>30000 MHz</td> <td>21.0</td> <td>1.00</td> </tr> <tr> <td>5000</td> <td>62.0</td> <td>0.10</td> <td>5000 MHz</td> <td>50.0</td> <td>53.0</td> <td>50000 MHz</td> <td>43.0</td> <td>1.00</td> </tr> <tr> <td>10000</td> <td>123.0</td> <td>0.05</td> <td>10000 MHz</td> <td>98.0</td> <td>103.0</td> <td>100000 MHz</td> <td>91.0</td> <td>1.00</td> </tr> <tr> <td>20000</td> <td>246.0</td> <td>0.02</td> <td>20000 MHz</td> <td>196.0</td> <td>206.0</td> <td>200000 MHz</td> <td>182.0</td> <td>1.00</td> </tr> <tr> <td>30000</td> <td>369.0</td> <td>0.01</td> <td>30000 MHz</td> <td>295.0</td> <td>313.0</td> <td>300000 MHz</td> <td>274.0</td> <td>1.00</td> </tr> <tr> <td>50000</td> <td>738.0</td> <td>0.005</td> <td>50000 MHz</td> <td>590.0</td> <td>618.0</td> <td>500000 MHz</td> <td>547.0</td> <td>1.00</td> </tr> <tr> <td>100000</td> <td>1476.0</td> <td>0.002</td> <td>100000 MHz</td> <td>1180.0</td> <td>1212.0</td> <td>1000000 MHz</td> <td>1092.0</td> <td>1.00</td> </tr> <tr> <td>200000</td> <td>2952.0</td> <td>0.001</td> <td>200000 MHz</td> <td>2360.0</td> <td>2424.0</td> <td>2000000 MHz</td> <td>2184.0</td> <td>1.00</td> </tr> <tr> <td>300000</td> <td>4428.0</td> <td>0.0005</td> <td>300000 MHz</td> <td>3540.0</td> <td>3656.0</td> <td>3000000 MHz</td> <td>3312.0</td> <td>1.00</td> </tr> <tr> <td>500000</td> <td>8856.0</td> <td>0.0002</td> <td>500000 MHz</td> <td>6780.0</td> <td>6932.0</td> <td>5000000 MHz</td> <td>5664.0</td> <td>1.00</td> </tr> <tr> <td>1000000</td> <td>17712.0</td> <td>0.0001</td> <td>1000000 MHz</td> <td>13560.0</td> <td>13936.0</td> <td>10000000 MHz</td> <td>11328.0</td> <td>1.00</td> </tr> </tbody> </table> <p><small>Attenuation values are for dry cable. Values may change due to environmental factors.</small></p>	Frequency (GHz)	Attenuation (dB)	Power (Watt)	Attenuation (dB)	Power (Watt)	Attenuation (dB)	Power (Watt)	(MHz)	(GHz)	(Watt)	(MHz)	(GHz)	(MHz)	(GHz)	50 MHz	3.0	1000	49 MHz	2.6	4.0	500 MHz	3.4	17.9	100	2.8	950	95 MHz	2.7	3.0	800 MHz	3.5	12.0	150	3.1	830	140 MHz	2.9	3.2	1600 MHz	3.7	1.04	200	3.3	690	190 MHz	2.8	3.6	2500 MHz	3.9	1.03	300	4.3	350	300 MHz	3.6	4.0	3500 MHz	4.9	1.00	500	6.6	21.0	500 MHz	5.2	5.9	5000 MHz	6.0	1.00	1000	11.1	1.00	800 MHz	9.5	10.1	10000 MHz	9.8	1.00	2000	22.1	0.50	2000 MHz	16.7	17.7	20000 MHz	14.7	1.00	3000	33.0	0.30	3000 MHz	26.0	28.1	30000 MHz	21.0	1.00	5000	62.0	0.10	5000 MHz	50.0	53.0	50000 MHz	43.0	1.00	10000	123.0	0.05	10000 MHz	98.0	103.0	100000 MHz	91.0	1.00	20000	246.0	0.02	20000 MHz	196.0	206.0	200000 MHz	182.0	1.00	30000	369.0	0.01	30000 MHz	295.0	313.0	300000 MHz	274.0	1.00	50000	738.0	0.005	50000 MHz	590.0	618.0	500000 MHz	547.0	1.00	100000	1476.0	0.002	100000 MHz	1180.0	1212.0	1000000 MHz	1092.0	1.00	200000	2952.0	0.001	200000 MHz	2360.0	2424.0	2000000 MHz	2184.0	1.00	300000	4428.0	0.0005	300000 MHz	3540.0	3656.0	3000000 MHz	3312.0	1.00	500000	8856.0	0.0002	500000 MHz	6780.0	6932.0	5000000 MHz	5664.0	1.00	1000000	17712.0	0.0001	1000000 MHz	13560.0	13936.0	10000000 MHz	11328.0	1.00	14 LEONY	
Frequency (GHz)	Attenuation (dB)	Power (Watt)	Attenuation (dB)	Power (Watt)	Attenuation (dB)	Power (Watt)																																																																																																																																																																																					
(MHz)	(GHz)	(Watt)	(MHz)	(GHz)	(MHz)	(GHz)																																																																																																																																																																																					
50 MHz	3.0	1000	49 MHz	2.6	4.0	500 MHz	3.4	17.9																																																																																																																																																																																			
100	2.8	950	95 MHz	2.7	3.0	800 MHz	3.5	12.0																																																																																																																																																																																			
150	3.1	830	140 MHz	2.9	3.2	1600 MHz	3.7	1.04																																																																																																																																																																																			
200	3.3	690	190 MHz	2.8	3.6	2500 MHz	3.9	1.03																																																																																																																																																																																			
300	4.3	350	300 MHz	3.6	4.0	3500 MHz	4.9	1.00																																																																																																																																																																																			
500	6.6	21.0	500 MHz	5.2	5.9	5000 MHz	6.0	1.00																																																																																																																																																																																			
1000	11.1	1.00	800 MHz	9.5	10.1	10000 MHz	9.8	1.00																																																																																																																																																																																			
2000	22.1	0.50	2000 MHz	16.7	17.7	20000 MHz	14.7	1.00																																																																																																																																																																																			
3000	33.0	0.30	3000 MHz	26.0	28.1	30000 MHz	21.0	1.00																																																																																																																																																																																			
5000	62.0	0.10	5000 MHz	50.0	53.0	50000 MHz	43.0	1.00																																																																																																																																																																																			
10000	123.0	0.05	10000 MHz	98.0	103.0	100000 MHz	91.0	1.00																																																																																																																																																																																			
20000	246.0	0.02	20000 MHz	196.0	206.0	200000 MHz	182.0	1.00																																																																																																																																																																																			
30000	369.0	0.01	30000 MHz	295.0	313.0	300000 MHz	274.0	1.00																																																																																																																																																																																			
50000	738.0	0.005	50000 MHz	590.0	618.0	500000 MHz	547.0	1.00																																																																																																																																																																																			
100000	1476.0	0.002	100000 MHz	1180.0	1212.0	1000000 MHz	1092.0	1.00																																																																																																																																																																																			
200000	2952.0	0.001	200000 MHz	2360.0	2424.0	2000000 MHz	2184.0	1.00																																																																																																																																																																																			
300000	4428.0	0.0005	300000 MHz	3540.0	3656.0	3000000 MHz	3312.0	1.00																																																																																																																																																																																			
500000	8856.0	0.0002	500000 MHz	6780.0	6932.0	5000000 MHz	5664.0	1.00																																																																																																																																																																																			
1000000	17712.0	0.0001	1000000 MHz	13560.0	13936.0	10000000 MHz	11328.0	1.00																																																																																																																																																																																			

SENAYAN CITY TOWER

Hutchison Telecom Indonesia	TECHNICAL SPECIFICATION	INFRASIA INVESTAMA <small>WORLD CLASS AIRPORTS</small>	
Coaxial Cable Leony 1-1/4"			
			
Flexible	Cable type number	FlexiLine 1 1/4" R	
Outer diameter: 25.0 mm	Outer jacket: PVC	Outer jacket thickness: 0.5 mm	
Weight: 25.5 kg/km	Conductor: Copper	Conductor diameter: 10.5 mm	
Characteristic impedance: 50 Ohm	Dielectric: Polyethylene	Dielectric constant: 2.05	
Dielectric loss at 1GHz: 0.002	Insulation resistance: >10 Gohm	Insulation resistance: >10 Gohm	
Dielectric strength: 200V/mm	Min. operating frequency: 10 MHz	Dielectric strength: 1.7 GPa	
Dielectric temperature range: -40°C to +80°C	Max. operating frequency: 1 GHz	Dielectric temperature range: -40°C to +80°C	
Dielectric temperature range: -55°C to +80°C	Dielectric loss: <0.002	Dielectric loss: <0.002	
Mechanical characteristics			
Max. tensile force: 200 N/mm	Impact strength: 200 J/m	Dielectric strength: 200 V/mm	
Breakdown voltage: 200 kV/mm	Dielectric temperature range: -55°C to +80°C	Dielectric temperature range: -55°C to +80°C	
Dielectric temperature range: -55°C to +80°C	Dielectric loss: <0.002	Dielectric loss: <0.002	
Electrical characteristics			
Frequency response: 100 MHz to 1 GHz	Impedance: 50 Ohm	Frequency response: 100 MHz to 1 GHz	
Frequency response: 100 MHz to 1 GHz	Insulation resistance: >10 Gohm	Frequency response: 100 MHz to 1 GHz	
Frequency response: 100 MHz to 1 GHz	Dielectric constant: 2.05	Dielectric constant: 2.05	
Frequency response: 100 MHz to 1 GHz	Dielectric loss: <0.002	Dielectric loss: <0.002	
Frequency response: 100 MHz to 1 GHz	Conductor diameter: 10.5 mm	Conductor diameter: 10.5 mm	
Frequency response: 100 MHz to 1 GHz	Insulation resistance: >10 Gohm	Insulation resistance: >10 Gohm	
Frequency response: 100 MHz to 1 GHz	Dielectric strength: 200 V/mm	Dielectric strength: 200 V/mm	
Frequency response: 100 MHz to 1 GHz	Dielectric temperature range: -55°C to +80°C	Dielectric temperature range: -55°C to +80°C	
Frequency response: 100 MHz to 1 GHz	Dielectric loss: <0.002	Dielectric loss: <0.002	
Frequency response: 100 MHz to 1 GHz	Dielectric strength: 200 V/mm	Dielectric strength: 200 V/mm	
Attenuation values and power ratings			
Reference value (at 10°C ambient temperature) between 100 MHz and 1 GHz, octave response			
Frequency (MHz)	Mean power (dBm)	Mean losses (dB)	Max power (dBm)
(100) 0.00001 (100)	(MHz) 100000 (100)	(MHz) 100000 (100)	(MHz) 100000 (100)
0.5 MHz 0.65 195.0 0.76 6.63 190.04 0.71 24.0	1 MHz 0.32 195.2 0.65 6.62 190.04 0.65 23.7	1.5 MHz 0.17 194.8 0.47 6.53 190.04 0.49 22.0	2 MHz 0.11 193.9 0.35 6.39 190.04 0.40 21.0
3 MHz 0.15 192.8 0.27 6.21 190.04 0.35 19.8	5 MHz 0.29 191.9 0.21 6.07 190.04 0.29 18.5	10 MHz 0.49 190.8 0.16 5.95 190.04 0.49 17.3	20 MHz 0.81 189.8 0.11 5.87 190.04 0.81 16.3
30 MHz 1.34 188.2 0.07 5.79 190.04 0.62 15.5	50 MHz 0.67 186.6 0.04 5.72 190.04 0.67 14.4	100 MHz 0.32 184.8 0.02 5.65 190.04 0.32 13.4	200 MHz 0.17 183.0 0.01 5.57 190.04 0.17 12.5
300 MHz 0.87 181.0 0.01 5.49 190.04 0.87 11.5	500 MHz 0.43 178.8 0.00 5.42 190.04 0.43 10.5	1 GHz 0.22 176.6 0.00 5.35 190.04 0.22 9.5	2 GHz 0.11 174.4 0.00 5.28 190.04 0.11 8.5
3.5 GHz 0.66 172.2 0.00 5.21 190.04 0.66 8.4	5.5 GHz 0.33 169.8 0.00 5.14 190.04 0.33 7.4	10 GHz 0.17 167.4 0.00 5.07 190.04 0.17 6.4	20 GHz 0.08 164.8 0.00 5.00 190.04 0.08 5.4
5 GHz 0.33 167.4 0.00 5.14 190.04 0.33 7.4	10.5 GHz 0.17 164.8 0.00 5.07 190.04 0.17 6.4	20.5 GHz 0.08 162.2 0.00 5.00 190.04 0.08 5.4	40 GHz 0.04 159.6 0.00 4.93 190.04 0.04 4.4
10 GHz 0.17 164.8 0.00 5.07 190.04 0.17 6.4	21 GHz 0.08 157.0 0.00 4.93 190.04 0.08 4.4	41 GHz 0.02 154.4 0.00 4.86 190.04 0.02 3.4	80 GHz 0.01 149.6 0.00 4.79 190.04 0.01 2.4
20 GHz 0.08 159.6 0.00 4.93 190.04 0.08 4.4	42 GHz 0.04 151.0 0.00 4.86 190.04 0.04 3.4	81 GHz 0.01 147.4 0.00 4.79 190.04 0.01 2.4	160 GHz 0.005 143.6 0.00 4.72 190.04 0.005 1.4
40 GHz 0.04 154.4 0.00 4.86 190.04 0.04 3.4	82 GHz 0.02 148.8 0.00 4.79 190.04 0.02 2.4	161 GHz 0.002 140.0 0.00 4.72 190.04 0.002 1.4	
80 GHz 0.01 147.4 0.00 4.79 190.04 0.01 2.4	162 GHz 0.001 138.0 0.00 4.72 190.04 0.001 1.4		
160 GHz 0.005 143.6 0.00 4.72 190.04 0.005 1.4			
Legend: (MHz) = octave band center frequency, (dBm) = reference value from the frequency column (dB) = reference value from the attenuation column			LE001 11

SENAYAN CITY TOWER

Hutchison Telecom Indonesia	TECHNICAL SPECIFICATION	INFRASIA INVESTAMA <small>and its strategic partners</small>			
Coaxial Cable Leony 1-5/8"					
Hutchison 1-5/8"					
					
Cable type number					
Standard: IEC/EN/BS/ASTM: 85546-RIS-C16					
Base material: conductor: pure Cu	85546-RIS-C16				
Base insulation: dielectric: PTFE	85546-RIS-C16				
Base jacket: outer jacket: PVC	85546-RIS-C16				
Mechanical characteristics		Electrical characteristics			
Outer diameter:	Original outer tube: 33.0 mm	Insulation:	0.9 mm T.D.		
Radius:	Braided: 4.1 mm	Relative electrical properties:	84%		
Outer cover thickness (L):	Insulated outer tube: 46.5 mm	Dielectric:	26 (A/R)		
Outer diameter (L):	P.L./PVC: 50.5 mm	Insulation:	1.05 (A/R)		
Outer diameter (R):	PVC: 53.0 mm	Minimum bending radius:	2.5 (D/R)		
Cable weight P.L./PVC:	250 g/128 kg/km	Band frequency:	1.0 GHz		
Conductor resist:	2400 Ω	Wire gauge ratio:	26:0.05		
Conductor losses (single):	0.0004	DC resistance (single):	<0.001 Ω		
Max bending radius (optical):	100 R mm	Voltage with 100 MHz:	1000 V		
Conductor, minimum pitch:	5.0 D	Max continuous DC resistance:	<0.001 Ω/mm		
Recommended bend radius:	10 D	Outer conductor DC resistance:	<0.001 Ω/mm		
Permissible operating range (extreme):	-40°C to +80°C	Break down: 100-300 MHz:	2.65		
Permissible temperature range (short-term):	0.0°C to +80°C	Break down 315-3700 MHz:	2.65		
Attenuation and power ratings					
Attenuation values typical at 20°C ambient temperature, measured at 1000 MHz using a 20°C ambient temperature					
Frequency (MHz)	��耗 (dB)	频率 (MHz)	衰耗 (dB)	频率 (MHz)	衰耗 (dB)
Frequency (MHz) (1000)	(dB)	Frequency (MHz) (1000)	(dB)	Frequency (MHz) (1000)	(dB)
0.5 MHz	0.00	20.0 MHz	1.40	6.0 MHz	0.00
1 MHz	0.00	40.0 MHz	1.70	10.0 MHz	0.00
2 MHz	0.00	50.0 MHz	1.80	15.0 MHz	0.00
3 MHz	0.00	55.0 MHz	1.85	20.0 MHz	0.00
4 MHz	0.00	58.0 MHz	1.90	25.0 MHz	0.00
5 MHz	0.00	60.0 MHz	1.95	30.0 MHz	0.00
7 MHz	0.00	62.0 MHz	2.05	40.0 MHz	0.00
10 MHz	0.00	64.0 MHz	2.15	50.0 MHz	0.00
15 MHz	0.00	66.0 MHz	2.25	60.0 MHz	0.00
20 MHz	0.00	68.0 MHz	2.35	70.0 MHz	0.00
30 MHz	0.00	70.0 MHz	2.45	80.0 MHz	0.00
40 MHz	0.00	72.0 MHz	2.55	90.0 MHz	0.00
50 MHz	0.00	74.0 MHz	2.65	100.0 MHz	0.00
60 MHz	0.00	76.0 MHz	2.75	120.0 MHz	0.00
70 MHz	0.00	78.0 MHz	2.85	140.0 MHz	0.00
80 MHz	0.00	80.0 MHz	2.95	160.0 MHz	0.00
90 MHz	0.00	82.0 MHz	3.05	180.0 MHz	0.00
100 MHz	0.00	84.0 MHz	3.15	200.0 MHz	0.00
Note: All transmission lines have a return loss of >10 dB. Following table shows the maximum allowable power rating for each frequency band.					
Power rating					
Frequency (MHz)	Power rating (W)	Frequency (MHz)	Power rating (W)	Frequency (MHz)	Power rating (W)
0.5-10	100	10-20	100	20-30	100
20-30	100	30-40	100	40-50	100
40-50	100	50-60	100	60-70	100
60-70	100	70-80	100	80-90	100
80-90	100	90-100	100	100-110	100
100-110	100	110-120	100	120-130	100
130-140	100	140-150	100	150-160	100
160-170	100	170-180	100	180-190	100
190-200	100	200-210	100	210-220	100
220-230	100	230-240	100	240-250	100
250-260	100	260-270	100	270-280	100
280-290	100	290-300	100	300-310	100
310-320	100	320-330	100	330-340	100
340-350	100	350-360	100	360-370	100
370-380	100	380-390	100	390-400	100
400-410	100	410-420	100	420-430	100
430-440	100	440-450	100	450-460	100
460-470	100	470-480	100	480-490	100
490-500	100	500-510	100	510-520	100
520-530	100	530-540	100	540-550	100
550-560	100	560-570	100	570-580	100
580-590	100	590-600	100	600-610	100
610-620	100	620-630	100	630-640	100
640-650	100	650-660	100	660-670	100
670-680	100	680-690	100	690-700	100
700-710	100	710-720	100	720-730	100
730-740	100	740-750	100	750-760	100
760-770	100	770-780	100	780-790	100
790-800	100	800-810	100	810-820	100
820-830	100	830-840	100	840-850	100
850-860	100	860-870	100	870-880	100
880-890	100	890-900	100	900-910	100
910-920	100	920-930	100	930-940	100
940-950	100	950-960	100	960-970	100
970-980	100	980-990	100	990-1000	100

SENAYAN CITY TOWER



Connector



SENAYAN CITY TOWER

 Hutchison Telecom Indonesia	TECHNICAL SPECIFICATION	
--	----------------------------	--

Jumper

Jumper Cables 

Technische Daten

Technical Data

Methode eines Stromkreises Impedanz	SD-Dyn			
Intermodulations (dB)	-140 dBc	-140 dBc	2 x 20 W	$f_1 = 1772.044 \text{ Hz}$, $f_2 = 1810.344 \text{ Hz}$, $f_{sd} = 3000 \text{ MHz}$, PSD9901 / Specif.
MSWR Kit Bezeichnung 1 für connector aus T-16, N Bei Kabellänge 5 m (optische Faser: Länge 2 m)	≤ 1.04	≤ 1.04	≤ 1.04	≤ 1.04
Kabel mit 2 geraden Steckverbindern Cable with 2 straight connectors	≤ 1.04	≤ 1.08	≤ 1.20	≤ 1.08
Kabel mit 1 gerad. und 1 Rechtswinkelverbind.	≤ 1.06	≤ 1.06	≤ 1.10	≤ 1.12
Cable with 1 straight and 1 right angle connector	≤ 1.06	≤ 1.06	≤ 1.10	≤ 1.12
Kabel mit 2 Rechtswinkelverbindern	≤ 1.06	≤ 1.06	≤ 1.12	≤ 1.14
Cable with 2 right angle connectors	≤ 1.06	≤ 1.06	≤ 1.12	≤ 1.14

Kabeltyp Type of cable	VDE-Ausprägung * VDE classification †				max. Biegung without bending max. bending radius without bending
	470 MHz	160 MHz	1400 MHz	2200 MHz	
1/8"	≤ 0.048 dB/W	≤ 0.150 dB/W	≤ 0.200 dB/W	≤ 0.217 dB/W	≥ 26 mm
1/2"	≤ 0.978 dB/W	≤ 0.110 dB/W	≤ 0.160 dB/W	≤ 0.172 dB/W	≥ 26 mm

* IEEE C-12.100 recommendations at 20 °C. VDE-Ausprägung ist die höchste Ausprägung eines DIN-Kennzeichens. † VDE-Ausprägung ist die höchste Ausprägung eines DIN-Kennzeichens, bei der der Kennzeichnungstyp der Ausprägung eine niedrigere Ausprägung ist als die VDE-Ausprägung.

Kabeltyp Type of cable	IEC-Ausprägung * IEC power rating †				max. Biegung without bending max. bending radius without bending
	470 MHz	600 MHz	1600 MHz	2200 MHz	
1/8"	≤ 0.048	≤ 0.172	≤ 0.26	≤ 0.264	≥ 25 mm
1/2"	≤ 0.980	≤ 0.172	≤ 0.26	≤ 0.264	≥ 25 mm

* IEEE C-12.100 recommendations at 40 °C. Kennzeichnungspunkt ist 10 % Kerntemperatursteigerung.
† IEC-Ausprägung ist die höchste Ausprägung des IEC-Kennzeichens, bei der die Temperatur 100 °C, bei einer Last.



SENAYAN CITY TOWER

1 □

 Hutchison Telecom Indonesia	TECHNICAL SPECIFICATION	 INFRASIA INVESTAMA <small>value creates success</small>
--	----------------------------	---

Multinetwork Combiner

PACIFIC WAVE

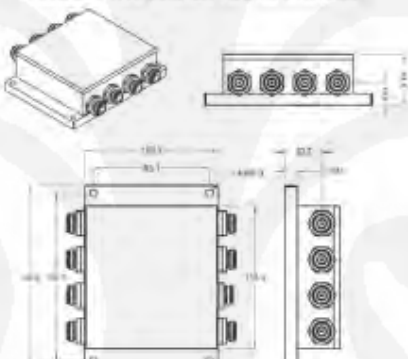
**Multi-Network
COMBINER**

FEATURES

- Wide 800-2500 MHz Frequency Band
- High Power 100 Watts
- Small - 110 x 140 x 41mm incl mounting flange
- Existing hornbeam optimal loss
- No Tuning Required
- Rack or Wall Mountable Configuration
- Flexible Modular Low Cost Design
- Low Insertion Loss
- Intermodulation products minimised.

Mechanical Outline

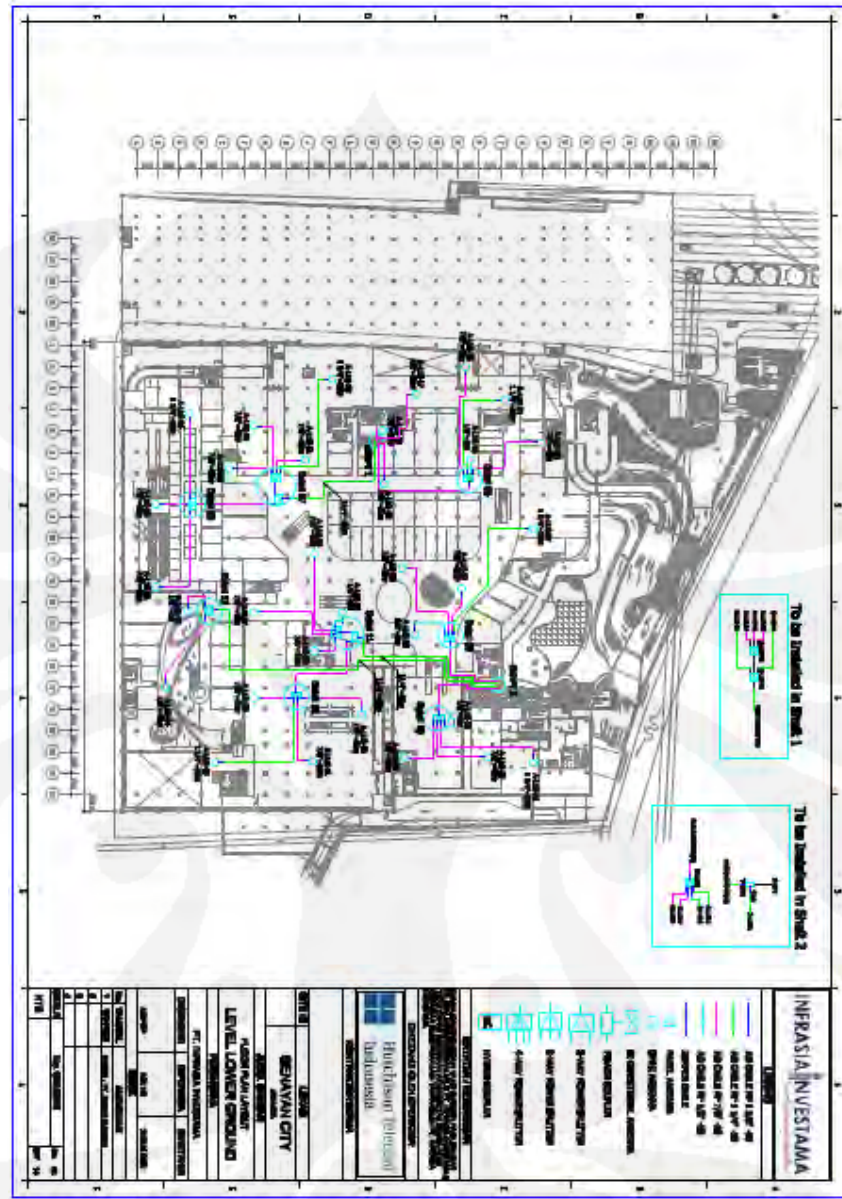
(Mounting bracket shown for standard 4 input / 4 output Multi Network Combiner)

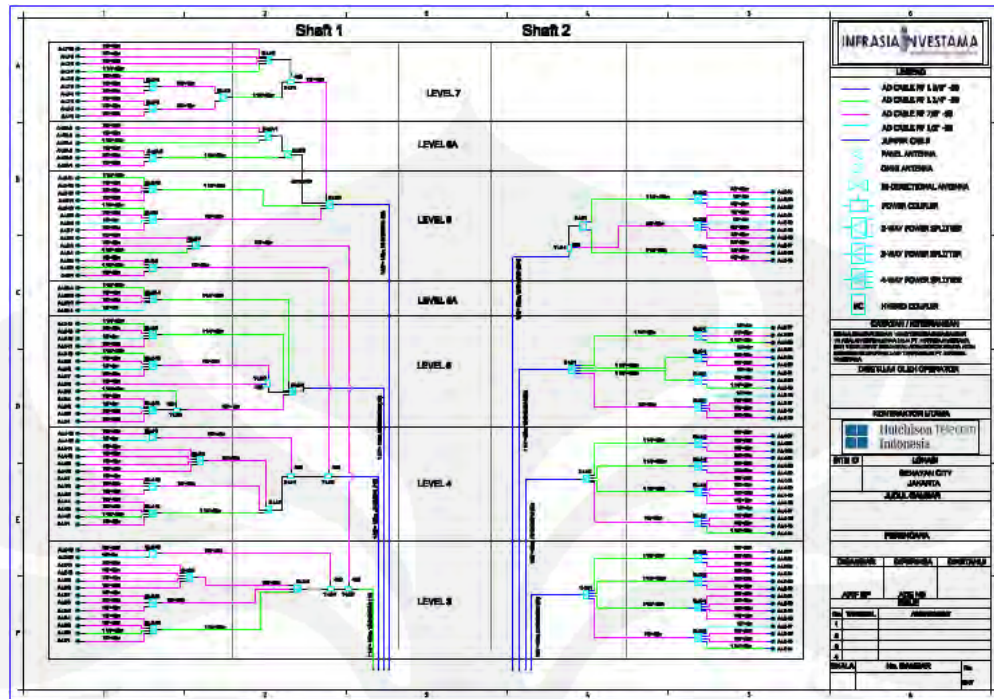


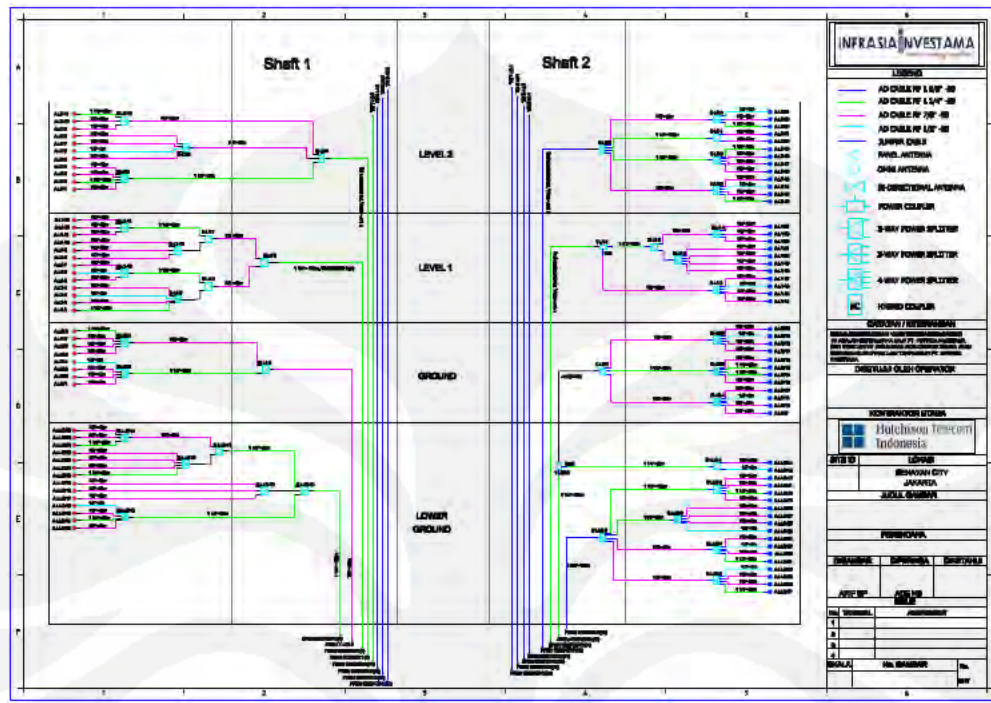
Port Header Specifications:

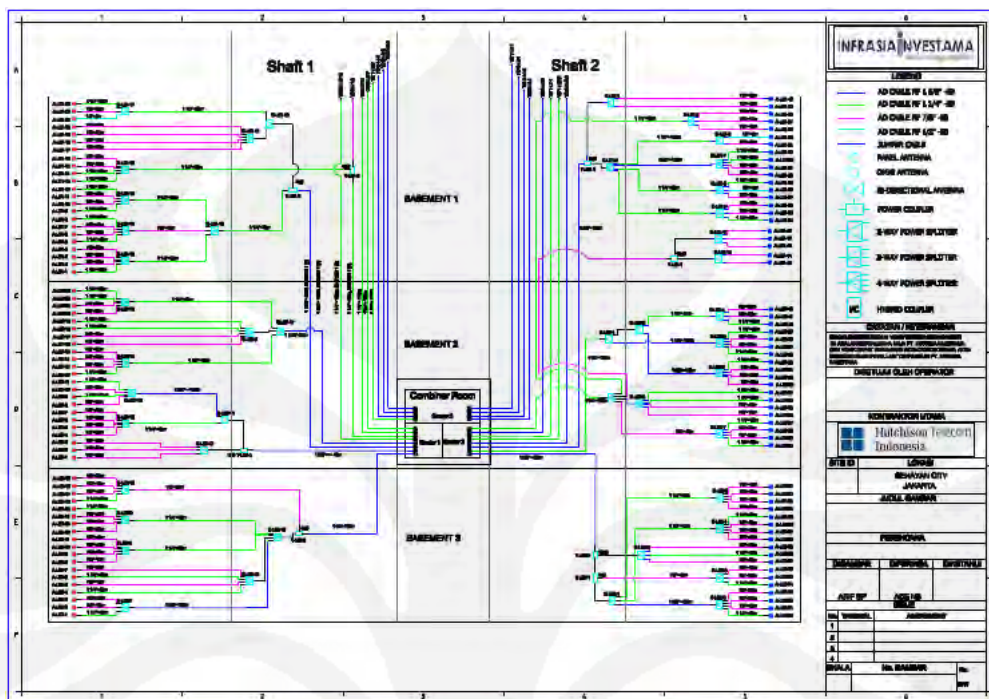
Frequency Range	800 to 2500 MHz
Isolation	20dB Min (between port 1 and 2 Max Isolation)
Return Loss	>20dB Min
Insertion Loss	6.5dB <- 1.0dB Typical
Operating Line	1dB Typical (selected communication line)
Power	100 Watts
Impedance	50 Ohms
Connector Type	N type DIN Female connector (Input & Output)

SENAYAN CITY TOWER











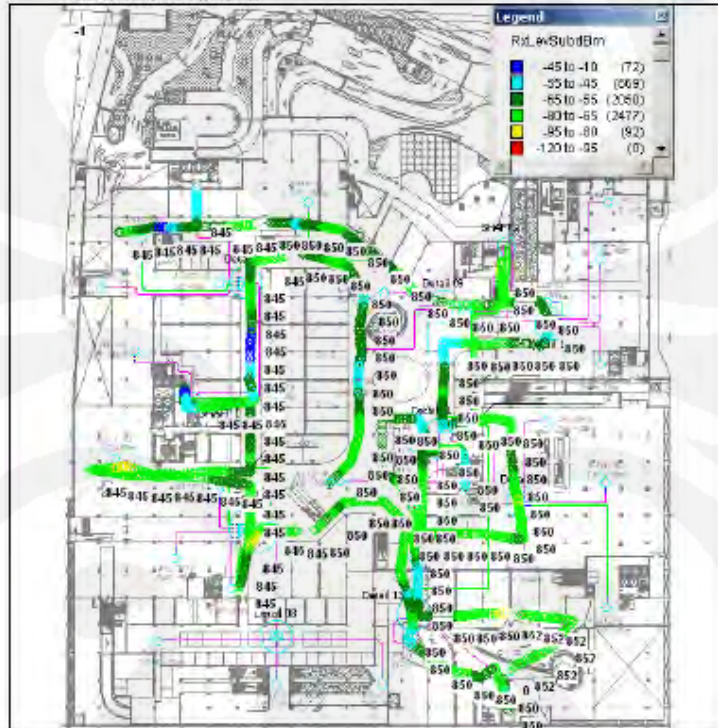
Hutchison 3G
Indonesia



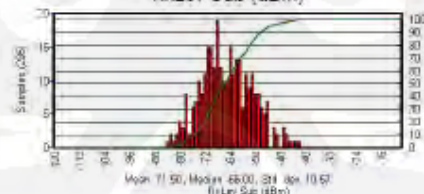
INFRASIA INVESTAMA

4.6.2. Idle Measurement

Rx Level Measurement



RxLev Sub (dBm)

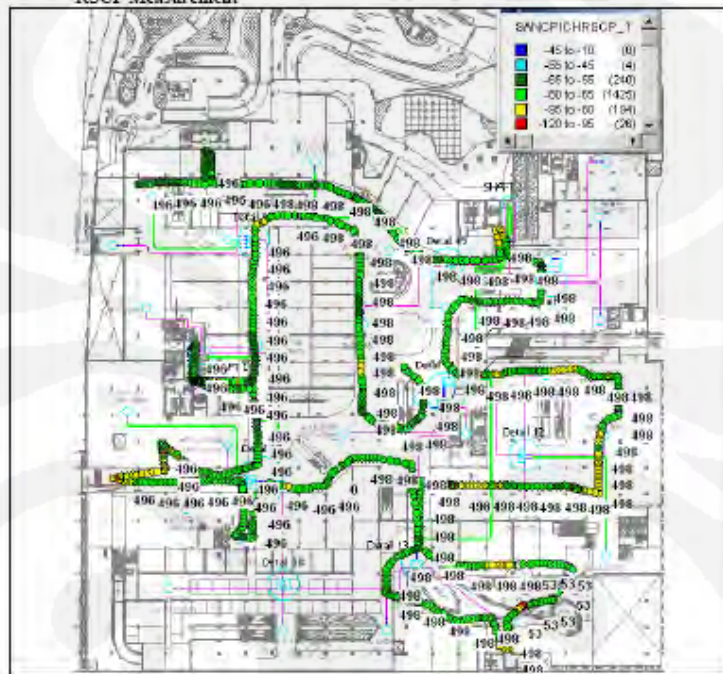


BANDUNG CITY

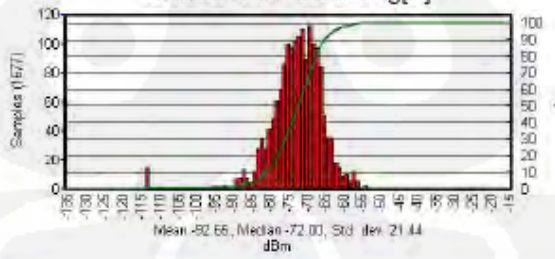
□ □

5.6.2 Idle Measurement

RSCP Measurement



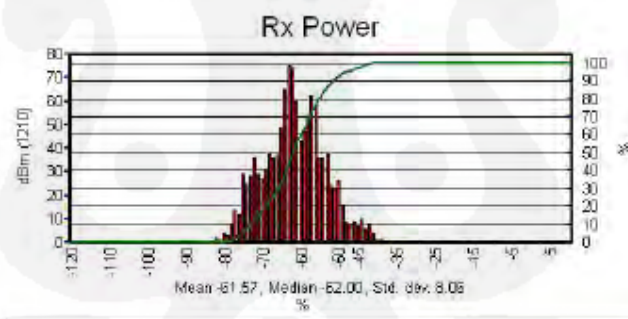
SAN CPICH RSCP Arg[1]



BENAYAN CITY



4.2 Idle Measurement Rx Power Measurement



SERANG CITY